

1

2

STEGANOGRRAFIE A DIGITÁLNÍ MÉDIA

3

ANDREW KOZLÍK

4

Toto jsou provizorní skripta k přednášce Steganografie a digitální média na MF F UK v letním semestru akademického roku 2013/14. Témata zde pokrytá tvoří jen polovinu přednášky. Zbytek látky prozatím najdete v kapitolách 1–5, 7 a 11 knihy *Steganography in digital media* [4] od J. Fridrich.

5

6

7

8

1. STEGANOGRRAFIE V PALETOVÝCH OBRÁZCÍCH

9

1.1. ÚVOD

Než se pustíme do práce, připomeňme pár základních poznatků. Barvy jsou reprezentovány jako uspořádané trojice $(r, g, b) \in \{0, 1, \dots, 255\}^3$, kde jednotlivé složky udávají intenzitu červené, zelené a modré. V množině všech barev můžeme měřit podobnost neboli vzdálenost dvou barev pomocí Eukleidovské normy $\|(r_1, g_1, b_1) - (r_2, g_2, b_2)\| = \sqrt{(r_1 - r_2)^2 + (g_1 - g_2)^2 + (b_1 - b_2)^2}$. Množinu všech barev lze uspořádat lexikograficky jako množinu trojic, tj. nejdříve podle intenzity červené složky a v případě, kdy dvě barvy mají stejnou intenzitu červené, uspořádáme je podle intenzity zelené složky a konečně v případě, kdy dvě barvy mají stejnou intenzitu červené i stejnou intenzitu zelené, uspořádáme je podle intenzity modré složky.

19

1.2. PALETOVÉ OBRÁZKY

Paletový obrázek sestává z palety barev a z matice indexů. Paleta barev je množina $C = \{c_i \mid i \in I\}$ indexovaná čísly $I = \{0, 1, \dots, |C| - 1\}$. Paleta je zpravidla uložena v souboru jako tabulka velikosti $|C| \times 3$ a indexy jsou ukazatele do této tabulky. Matice indexů má rozměry shodné s rozměry obrázku, její složky odpovídají pixelům obrázku. Barva pixelu je tedy určena indexem na příslušné pozici v matici indexů.

Každý paletový obrázek má mnoho různých reprezentací určených uspořádáním palety. Můžeme totiž vzít soubor obsahující paletový obrázek a v tabulce, kde je uložena paleta, zaměnit první dva řádky, tj. první dvě barvy. Aby obrázek jako takový zůstal zachován, musíme odpovídajícím způsobem přecíslovat matici indexů tak, že všechny složky s indexem 0 přepíšeme na 1 a naopak ty s indexem 1 přepíšeme na 0. Kdykoliv budeme hovořit o přeuspořádání palety, máme zároveň na mysli, že se odpovídajícím způsobem přecíslová matice indexů.

32

Steganografii v paletových obrázcích lze provádět dvěma základními způsoby.

33

34

35

1. Volbou uspořádání palety. Množinu všech permutací palety S_C lze uspořádat lexikograficky a každé permutaci můžeme tedy přiřadit pořadové číslo od 0 do $|C|! - 1$. Každému pořadovému číslu pak přiřadíme nějakou zprávu. V případě palety s 256

36 barvami máme nosič s kapacitou $\log_2 256! \approx 1684$ bitů, což odpovídá například 1,5
37 SMS zprávám.

38 Výhodou tohoto postupu je, že nezanechává žádnou viditelnou stopu v obrázku jako
39 takovém, protože jediné co děláme je, že volíme jednu z mnoha různých ekvivalent-
40 ních reprezentací obrázku. Nevýhodou je jednak omezená kapacita, jednak to, že
41 chaoticky uspořádaná paleta okamžitě budí podezření. Naprostá většina programů
42 totiž při ukládání paletového obrázku setřídí paletu podle jasů, popřípadě podle
43 odstínu, anebo podle četnosti jednotlivých barev v obrázku. Z toho plyne další ne-
44 výhoda, kterou je to, že otevření stegoobrázku a jeho opětovné uložení má zpravidla
45 za následek zničení nesené zprávy.

46 2. Vkládání do matice indexů.

47 (a) Paletu setřídíme podle jasů. Bity zprávy vkládáme do nejnižších bitů jednot-
48 livých indexů v matici. Uspořádání palety podle jasů zajistí, že změna nejniž-
49 šího bitu v indexu příliš neovlivní jas pixelu. Tento postup používá algoritmus
50 EzStego. Jeho nevýhodou je, že změna nejnižšího bitu v indexu může vést k zá-
51 sadní změně odstínu pixelu.

52 (b) Budeme postupovat jako v předchozím případě, ale paletu uspořádáme tak,
53 aby každé dvě po sobě následující barvy v paletě byly co možná nejpodob-
54 nější. Můžeme ji například uspořádat tak, aby součet $\sum_{i=0}^{|C|-2} \|c_i - c_{i+1}\|$ nabýval
55 minimální možné hodnoty. Problém hledání takového uspořádání je shodný
56 s problémem obchodního cestujícího. Jak známo, jedná se o NP-úplný problém.

57 (c) Zvolíme zcela jiný přístup než je vkládání do nejnižšího bitu. Ke každé barvě
58 v paletě přiřadíme hodnotu 0 nebo 1 takovým způsobem, aby nejpodobnější
59 barva v paletě měla opačnou hodnotu. Hodnotu, kterou každé barvě přiřa-
60 zujeme, nazýváme *parita* barvy. Paritu barev tedy volíme tak, aby se mini-
61 malizovala velikost změn vyvolaných vkládáním. O tomto přístupu pojednává
62 následující část.

63 1.3. VKLÁDÁNÍ S OPTIMÁLNÍM PŘIŘAZENÍM PARITY

64 Zobrazení, které každé barvě přiřazuje paritu budeme značit p . Dále budeme pracovat se
65 zobrazením f , které každé barvě přiřazuje nejpodobnější barvu v paletě.

66 **Definice.** Nechť $C = \{c_i \mid i \in I\}$ je paleta a (p, f) je dvojice zobrazení, kde $p : I \rightarrow \{0, 1\}$
67 a $f : I \rightarrow I$. Jestliže pro každé $i \in I$ platí

$$p(i) = 1 - p(f(i)) \quad \text{a} \quad \|c_i - c_{f(i)}\| = \min_{j \in I \setminus \{i\}} \|c_i - c_j\|,$$

68 pak říkáme, že (p, f) je *optimální přiřazení parity* pro paletu C .

69 Optimální přiřazení parity existuje pro každou paletu, není však jednoznačně určeno.
70 Existenci dokážeme v algoritmu 1.3. Nejednoznačnost je zřejmá už z toho, že je-li (p, f)
71 optimální přiřazení parity pro C , pak také (p', f) , kde $p'(i) = 1 - p(i)$ pro všechna $i \in I$,
72 je optimální přiřazení parity pro C . Jinými slovy, všem barvám můžeme přiřadit opačnou
73 paritu než jakou jim přiřazuje p . Mohou však existovat i další optimální přiřazení parity,
74 například taková, která jsou „na půli cesty mezi p a p' “. To znamená, že u některých palet
75 lze p obrátit na určité podmnožině množiny I a získat nové optimální přiřazení parity.
76 Dalším důvodem nejednoznačnosti může být situace, kdy paleta obsahuje tři nebo více
77 různých barev, které jsou navzájem stejně vzdálené, čili např. barvy c_1, c_2, c_3 takové, že

78 $\|c_1 - c_2\| = \|c_2 - c_3\| = \|c_3 - c_1\|$. Stejně tak ani zobrazení f nemusí být jednoznačně určeno,
 79 protože v paletě se může nacházet barva, ke které existují dvě nebo více nejpodobnějších
 80 barev.

81 Nejednoznačnosti optimálního přiřazení parity se můžeme zbavit tím, že na množině
 82 barev zavedeme lineární uspořádání. To pak lze využít k upřednostnění jednoho opti-
 83 málního přiřazení parity před ostatními; viz již zmíněný algoritmus 1.3. Jedním možným
 84 lineárním uspořádáním palety je její uspořádání v souboru samotném, tj. podle indexů.
 85 Jak už jsme zmínili v předchozí části, spoléhat se na toto uspořádání není ideální. Lepším
 86 řešením je uspořádat barvy lexikograficky jakožto třísloužkové vektory. Jediný problém,
 87 který zde může nastat je situace, kdy paleta obsahuje duplicitu. Obsahuje-li totiž paleta
 88 dvě stejné barvy s různými indexy, pak nelze jednoznačným způsobem přiřadit jedné z nich
 89 paritu 0 a druhé paritu 1 bez toho, abychom se odkázali na jejich uspořádání v souboru.
 90 Řešením je ztotožnit duplicitní barvy.

91 Než přistoupíme k algoritmu pro sestavení optimálního přiřazení parity, uvedeme pří-
 92 slušné algoritmy vkládání a extrakce.

93 **Algoritmus 1.1** (vkládání s optimálním přiřazením parity).

vstup: nosič $x = (x_1, \dots, x_n) \in I^n$, zpráva $z = (z_1, \dots, z_m) \in \{0, 1\}^m$,
 94 klíč $\pi \in S_n$, optimální přiřazení parity (p, f)
výstup: stegoobjekt $y = (y_1, \dots, y_n) \in I^n$
 1 **for** $i = 1, \dots, n$ **do**
 2 **if** $i > m$ **or** $p(x_{\pi(i)}) = z_i$ **then**
 3 $y_{\pi(i)} := x_{\pi(i)}$
 95 4 **else**
 5 $y_{\pi(i)} := f(x_{\pi(i)})$
 6 **return** y

96 **Algoritmus 1.2** (extrakce s optimálním přiřazením parity).

vstup: stegoobjekt $y = (y_1, \dots, y_n) \in I^n$, klíč $\pi \in S_n$, délka zprávy m ,
 97 optimální přiřazení parity (p, f)
výstup: zpráva $z = (z_1, \dots, z_m) \in \{0, 1\}^m$
 1 **for** $i = 1, \dots, n$ **do**
 98 2 $z_i := p(y_{\pi(i)})$
 3 **return** z

99 Algoritmus vkládání i algoritmus extrakce oba pracují s optimálním přiřazením pa-
 100 rity (p, f) pro daný obrázek. Měli bychom zdůraznit, že pár (p, f) se v rámci komunikace
 101 neposílá, ale odesílatel i příjemce si ho spočítají samostatně ze znalosti palety. Aby ste-
 102 gosystém byl funkční, je nezbytné, aby obě strany dospěly ke stejnému přiřazení parity.
 103 Zároveň bychom uvítali, kdyby se tak stalo i v případě, že při přenosu dojde k pře-
 104 spořádání palety. Následující algoritmus pro sestavení optimálního přiřazení parity tuto
 105 vlastnost splňuje.

106 **Algoritmus 1.3** (optimální přiřazení parity).

vstup: paleta bez duplicit $C = \{c_i \mid i \in I\}$
 107 **výstup:** optimální přiřazení parity (p, f) pro C , nezávislé na uspořádání palety C
 108
 1 **for** $i \in I$ **do**
 2 $p(i) := \infty$
 3 $E := \{(\|c_i - c_j\|, c_i, c_j) \mid i, j \in I, i \neq j\}$
 4 **while** $E \neq \emptyset$ **do**

```

5       $(d, c_i, c_j) := \min_{\text{LEX}} E$ 
6      if  $p(j) = \infty$  then
7           $p(i) := 0$ 
8           $p(j) := 1$ 
9           $f(i) := j$ 
10          $f(j) := i$ 
11          $E := E \setminus (\mathbb{R} \times \{c_i, c_j\} \times C)$ 
12     else
13          $p(i) := 1 - p(j)$ 
14          $f(i) := j$ 
15          $E := E \setminus (\mathbb{R} \times \{c_i\} \times C)$ 
16     return  $(p, f)$ 

```

109 *Důkaz.* Funkce \min_{LEX} vrací lexikograficky minimální prvek množiny, což zde znamená
110 prvek $(\|c_i - c_j\|, c_i, c_j)$ z množiny E s minimální vzdáleností $\|c_i - c_j\|$ a je-li více takových
111 prvků, pak se rozhoduje podle pořadí barvy c_i , popřípadě podle barvy c_j . Připomeňme, že
112 barvy jsou také uspořádány lexikograficky. Za předpokladu, že paleta neobsahuje duplicity,
113 je funkce \min_{LEX} dobře definovaná. Algoritmus nijak nezávisí na uspořádání palety, což
114 je zřejmé z toho, že nikde nedochází k porovnávání indexů i a j .

115 Algoritmus skončí, protože množina E je konečná a při každém průchodu cyklem se
116 zmenší o alespoň jeden prvek, konkrétně o prvek (d, c_i, c_j) vybraný funkcí \min_{LEX} . Po
117 každém průchodu hlavním cyklem platí pro všechna $i \in I$ následující tři invarianty

$$\begin{aligned}
 p(i) = \infty &\Leftrightarrow (E \cap (\mathbb{R} \times \{c_i\} \times C) \neq \emptyset), \\
 p(i) \neq \infty &\Leftrightarrow f(i) \text{ je definované,} \\
 p(i) \neq \infty &\Rightarrow p(i) = 1 - p(f(i)).
 \end{aligned}$$

118 Vzhledem k tomu, že na konci algoritmu je množina E prázdná, z prvního invariantu
119 plyne, že $p(i) \in \{0, 1\}$ pro všechna $i \in I$. Z druhého invariantu potom plyne, že také f je
120 řádně definované zobrazení, a ze třetího, že f obrací paritu.

121 Zbývá ukázat, že pro každé $i \in I$ je $\|c_i - c_{f(i)}\| = \min_{j \in I \setminus \{i\}} \|c_i - c_j\|$. Hlavní cyklus
122 algoritmu prochází dvojice barev (c_i, c_j) od nejpodobnějších dvojic po nejméně podobné
123 dvojice, a takto postupně předepisuje $f(i) := j$, popřípadě také $f(j) := i$. Potřebujeme
124 se tedy akorát přesvědčit, že jakmile je hodnota zobrazení f jednou definovaná pro určitý
125 index, už se v pozdější fázi algoritmu nepřepíše. K přepsání by mohlo dojít pouze operací
126 na řádku 9, 10 nebo 14. Složením prvního a druhého invariantu vidíme, že jakmile je $f(i)$
127 definované, je $E \cap (\mathbb{R} \times \{c_i\} \times C) = \emptyset$ a není tedy možné, aby funkce \min_{LEX} vrátila
128 prvek s barvou c_i na druhé pozici. Na řádcích 9 a 14 proto nemůže dojít k přepsání již
129 jednou definované hodnoty zobrazení f . Podle druhého invariantu platí, že jakmile je $f(j)$
130 definované, je $p(j) \neq \infty$, čili podmínka na řádku 6 není splněna. To znamená, že ani na 10.
131 řádku nemůže dojít k přepsání. \square

132 2. STEGANOGRAFIE POMOCÍ Maticového Vkládání

133 2.1. Úvod

134 Uvažujme stegosystém, který rozděluje prvky nosiče na tříprvkové bloky a do každého
135 bloku vkládá dva bity. Při standardním vkládání do nejnižšího bitu bychom u každého

136 bloku vložili bity zprávy např. do prvních dvou prvků a třetí prvek bychom nechali nedo-
 137 tčený. Jinou možností je rozložit bity zprávy do nejnižších bitů celého bloku takovým způ-
 138 sobem, aby příjemce z každého bloku stegoobjektu (y_1, y_2, y_3) extrahoval zprávu (z_1, z_2)
 139 jako $z_1 = \text{LSB}(y_1) \oplus \text{LSB}(y_2)$ a $z_2 = \text{LSB}(y_2) \oplus \text{LSB}(y_3)$. Vkládání v tomto případě pro-
 140 bíhá tak, že vyšetříme, která z následujících čtyř variant nastává a provedeme příslušnou
 141 úpravu:

$\text{LSB}(x_1) \oplus \text{LSB}(x_2)$	$\text{LSB}(x_2) \oplus \text{LSB}(x_3)$		y_1	y_2	y_3
z_1	z_2	\Rightarrow	x_1	x_2	x_3
$\neg z_1$	z_2	\Rightarrow	$\text{flip}(x_1)$	x_2	x_3
z_1	$\neg z_2$	\Rightarrow	x_1	x_2	$\text{flip}(x_3)$
$\neg z_1$	$\neg z_2$	\Rightarrow	x_1	$\text{flip}(x_2)$	x_3

143 Pro lepší náhled můžeme tuto tabulku porovnat s odpovídající tabulkou pro standardní
 144 vkládání do nejnižšího bitu:

$\text{LSB}(x_1)$	$\text{LSB}(x_2)$		y_1	y_2	y_3
z_1	z_2	\Rightarrow	x_1	x_2	x_3
$\neg z_1$	z_2	\Rightarrow	$\text{flip}(x_1)$	x_2	x_3
z_1	$\neg z_2$	\Rightarrow	x_1	$\text{flip}(x_2)$	x_3
$\neg z_1$	$\neg z_2$	\Rightarrow	$\text{flip}(x_1)$	$\text{flip}(x_2)$	x_3

146 Jak již víme, efektivita standardního vkládání do nejnižšího bitu je rovna 2 bez ohledu
 147 na délku nosiče či délku vložené zprávy. Při pohledu na poslední řádek v obou tabulkách
 148 vidíme, že nově představená metoda bude mít vyšší efektivitu vkládání. Předpokládáme-
 149 li, že všechny čtyři možnosti v první tabulce jsou stejně pravděpodobné, pak každý blok
 150 přispívá v průměru hodnotou $3/4$ k celkové distorzi vyvolané vkládáním. Počet vložených
 151 bitů je roven dvojnásobku počtu bloků. Efektivita vkládání je tedy $2b/(\frac{3}{4}b) = \frac{8}{3} \approx 2,667$,
 152 kde b je počet bloků nosiče. Vzhledem k tomu, že počet bloků nehraje roli, budeme jej
 153 napříště z našich úvah vynechávat. Nová metoda tedy vkládá o $\frac{2}{3}$ bitu víc na jednotku
 154 distorze oproti dřívější metodě. Ve skutečnosti se jedná jen o speciální případ metody
 155 známé jako *maticové vkládání*, která byla poprvé představena Crandalleem [3] v roce 1998.
 156 Tento název vychází z toho, že extrakci lze popsat pomocí maticového násobení

$$\begin{pmatrix} z_1 \\ z_2 \end{pmatrix} = \begin{pmatrix} 1 & 1 & 0 \\ 0 & 1 & 1 \end{pmatrix} \begin{pmatrix} \text{LSB}(x_1) \\ \text{LSB}(x_2) \\ \text{LSB}(x_3) \end{pmatrix}.$$

157 Jak vidíme, je načase změnit značení, abychom mohli s objekty snáze pracovat po
 158 blocích a abychom se mohli oprostít od zobrazení LSB a flip. Vzhledem k tomu, že na
 159 nosiče a stegoobjekty přestaneme nahlížet jako na celky a budeme pracovat na nižší úrovni
 160 bloků, přestaneme se zároveň zatěžovat pojmem stegoklíče. Posloupnost hodnot spjatých
 161 s blokem nosiče a s blokem stegoobjektu budeme značit $\mathbf{x} = (x_1, \dots, x_n) \in \mathbb{F}_q^n$ a $\mathbf{y} \in \mathbb{F}_q^n$,
 162 kde n je velikost jednoho bloku. Blok zprávy budeme značit $\mathbf{z} \in \mathbb{F}_q^m$, kde m je počet
 163 q -árních symbolů vkládaných do jednoho bloku nosiče. Pod pojmem *spjatá hodnota* si
 164 pro $q = 2$ můžeme například představovat LSB příslušného prvku nosiče či stegoobjektu,
 165 nebo například paritu ve smyslu vkládání s optimálním přiřazením parity v paletových
 166 formátech. Zde budeme mít spjatou hodnotou na mysli zbytek po dělení prvku číslem q ,
 167 i když obecně může přicházet v úvahu i jiné přiřazení. Rozvláčnému výrazu „posloupnost
 168 hodnot spjatých s blokem“ se budeme dále vyhýbat, místo toho budeme pro jednoduchost
 169 hovořit přímo o \mathbf{x} jako o nosiči a o \mathbf{y} jako o stegoobjektu.

m	α	e
1	1,000	2,000
2	0,667	2,667
3	0,429	3,429
4	0,267	4,267
5	0,161	5,161
6	0,095	6,095
7	0,055	7,055
8	0,031	8,031
9	0,018	9,018

TABULKA 2.1: Relativní kapacita α a efektivitu e Hammingových $[2^m - 1, 2^m - 1 - m]_2$ kódů.

Měli bychom zdůraznit, že zpráva se nyní skládá z q -árních symbolů, avšak kapacitu na-
dále měříme v bitech. Proto relativní kapacita nosiče $\alpha = (\log_2 q^{mb})/(nb) = m(\log_2 q)/n$,
kde b je počet bloků. Ani zde nehraje počet bloků roli, a můžeme jej tedy napříště vyne-
chávat.

2.2. MATICOVÉ VKLÁDÁNÍ POMOCÍ HAMMINGOVÝCH KÓDŮ

Nechť \mathbf{H} je paritní matice Hammingova $[\frac{q^m-1}{q-1}, \frac{q^m-1}{q-1} - m]_q$ kódu. Podle definice se jedná
o matici jejíž sloupce tvoří všechny nenulové vektory z \mathbb{F}_q^m , až na násobek. Pro začátek
uvažujme binární případ. Sloupce paritní matice je vhodné uspořádat lexikograficky, např.

$$\mathbf{H} = \begin{pmatrix} 0 & 0 & 0 & 1 & 1 & 1 & 1 \\ 0 & 1 & 1 & 0 & 0 & 1 & 1 \\ 1 & 0 & 1 & 0 & 1 & 0 & 1 \end{pmatrix}.$$

Extrakci zprávy ze stegoobjektu budeme provádět násobením paritní maticí zleva $\mathbf{z} = \mathbf{H}\mathbf{y}$.
Vkládání zprávy je malinko pracnější. Mějme nosič \mathbf{x} a zprávu \mathbf{z} . Spočítáme $\mathbf{H}\mathbf{x}$, tento
vektor se nazývá *syndrom* vektoru \mathbf{x} . Jestliže $\mathbf{H}\mathbf{x} \neq \mathbf{z}$, pak musíme určit změnu, kterou
je potřeba provést na \mathbf{x} , aby rovnost platila. V matici \mathbf{H} najdeme sloupec, který je roven
 $\mathbf{z} - \mathbf{H}\mathbf{x}$. Označme jeho pořadí v matici jako j ; tento sloupec značíme \mathbf{H}_{*j} . Za stegoobjekt
zvolíme $\mathbf{y} = \mathbf{x} + \mathbf{e}_j$, kde \mathbf{e}_j je j -tý vektor kanonické báze prostoru \mathbb{F}_q^n . Snadno ověříme, že
 $\mathbf{H}\mathbf{y} = \mathbf{H}\mathbf{x} + \mathbf{H}\mathbf{e}_j = \mathbf{H}\mathbf{x} + \mathbf{H}_{*j} = \mathbf{z}$. Lexikografické uspořádání sloupců paritní matice
umožňuje okamžitě určit pořadové číslo sloupce j , protože sloupec je binární reprezentací
čísla j .

V podstatě stejný postup se používá při dekódování Hammingových kódů. Při dekódo-
vání je cílem získat nulový syndrom $\mathbf{H}\mathbf{y} = 0$, vektor \mathbf{e}_j je potom chybový vektor a $\mathbf{x} + \mathbf{e}_j$
je opravené slovo. Dekódování je tedy speciálním případem vkládání, a to vkládání nulové
zprávy.

Relativní kapacita stegosystému založeného na binárních Hammingových kódech je
 $\alpha = m/n = m/(2^m - 1)$. Z popisu algoritmu vkládání vidíme, že je-li $\mathbf{H}\mathbf{x} \neq \mathbf{z}$, pak
distorze na blok je 1, jinak 0. Předpokládáme-li, že zprávy \mathbf{z} jsou voleny náhodně z \mathbb{F}_q^m
s rovnoměrným rozdělením, pak očekávaná distorze na blok je $(2^m - 1)/2^m = 1 - 2^{-m}$.
Efektivita vkládání je $e = m/(1 - 2^{-m})$ bitů na jednotku distorze.

Případ $m = 1$ vede na standardní vkládání do nejnižšího bitu a $m = 2$ odpovídá
úvodnímu příkladu. Tabulka 2.1 ukazuje relativní kapacitu a efektivitu binárních Ham-
mingových kódů pro 9 nejmenších hodnot m .

199 V praxi bychom vkládání pomocí Hammingových kódů realizovali následující způso-
 200 bem. Na vstupu dostaneme nosič a zprávu. Najdeme největší celé číslo m takové že

$$\frac{m}{2^m - 1} \geq \frac{\text{počet bitů zprávy}}{\text{počet prvků nosiče}}.$$

201 V nosiči vyhradíme místo, kam vložíme hodnotu m , a zbytek nosiče rozdělíme na bloky
 202 velikosti $2^m - 1$. Následně vkládáme pomocí Hammingova $[2^m - 1, 2^m - 1 - m]_2$ kódu.
 203 Tento postup používá stegosystém F5 pro vkládání do obrázků ve formátu JPEG.

204 Nyní přejdeme ke q -árním Hammingovým kódům. Jak už jsem zmínili v úvodu, prvky
 205 nosiče asociujeme s prvky tělesa \mathbb{F}_q pomocí operace $x \mapsto x \bmod q$. Jestliže q není prvočíslo,
 206 pak hodnotám $\{1, 2, \dots, q - 1\}$ přiřadíme prvky $\mathbb{F}_q \setminus \{0\}$ libovolným způsobem. Než bu-
 207 deme pokračovat, všimněme si, že i bez použití maticového vkládání lze tímto přístupem
 208 dosáhnout lepší efektivity vkládání než u klasického vkládání do nejnižšího bitu. Pro $q = 3$
 209 můžeme do každého prvku nosiče vložit jeden ternární symbol zprávy 0, 1, nebo 2 tak, že
 210 prvek necháme jak je, anebo jeho hodnotu zvýšíme či snížíme o 1, aby zbytek po dělení 3
 211 byl roven vkládanému symbolu zprávy. Do každého prvku tak vkládáme $\log_2 3 \approx 1,585$
 212 bitů a očekávaná distorze na každý prvek je $\frac{1}{3} \cdot 0^2 + \frac{1}{3} \cdot 1^2 + \frac{1}{3} \cdot (-1)^2 = 2/3$. Tímto docílíme
 213 efektivity vkládání $e = 3(\log_2 3)/2 \approx 2,377$. Pro vyšší hodnoty q už ovšem efektivita této
 214 metody klesá.

215 **Algoritmus 2.1** (vkládání pomocí Hammingova kódu).

vstup: nosič $\mathbf{x} \in \mathbb{F}_q^n$, zpráva $\mathbf{z} \in \mathbb{F}_q^m$,
 216 paritní matice \mathbf{H} Hammingova $[n, n - m]_q$ kódu
výstup: stegoobjekt $\mathbf{y} \in \mathbb{F}_q^n$ takový, že $\mathbf{H}\mathbf{y} = \mathbf{z}$
 1 **if** $\mathbf{H}\mathbf{x} = \mathbf{z}$ **then**
 2 **return** \mathbf{x}
 217 3 **else**
 4 najdi j -tý sloupec matice \mathbf{H} a $a \in \mathbb{F}_q$ takové, že $\mathbf{z} - \mathbf{H}\mathbf{x} = a\mathbf{H}_{*j}$
 5 **return** $\mathbf{x} + a\mathbf{e}_j$

218 *Důkaz.* $\mathbf{H}\mathbf{y} = \mathbf{H}\mathbf{x} + a\mathbf{H}\mathbf{e}_j = \mathbf{H}\mathbf{x} + a\mathbf{H}_{*j} = \mathbf{z}$. □

219 **Příklad 2.2.** Máme paritní matici Hammingova $[13, 10]_3$ kódu

$$\mathbf{H} = \begin{pmatrix} 0 & 0 & 0 & 0 & 1 & 1 & 1 & 1 & 1 & 1 & 1 & 1 & 1 \\ 0 & 1 & 1 & 1 & 0 & 0 & 0 & 1 & 1 & 1 & 2 & 2 & 2 \\ 1 & 0 & 1 & 2 & 0 & 1 & 2 & 0 & 1 & 2 & 0 & 1 & 2 \end{pmatrix}$$

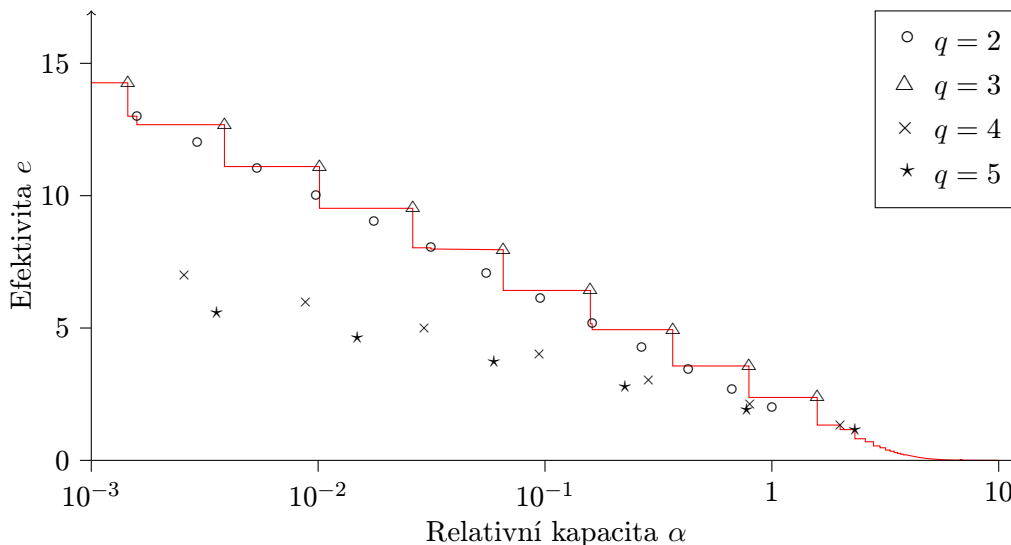
220 Do níže uvedeného bloku nosiče budeme vkládat zprávu $\mathbf{z} = (1, 2, 0)^T \in \mathbb{F}_3^3$. Složky vektoru
 221 \mathbf{x} získáme z prvků nosiče jako zbytek po dělení třemi.

222 Blok nosiče: 20 21 19 19 18 16 19 20 24 23 20 20 19
 $\mathbf{x} = (2 \quad 0 \quad 1 \quad 1 \quad 0 \quad 1 \quad 1 \quad 2 \quad 0 \quad 2 \quad 2 \quad 2 \quad 1)^T$

223 Spočteme $\mathbf{z} - \mathbf{H}\mathbf{x} = (1, 2, 0)^T - (2, 1, 1)^T = (2, 1, 2)^T$, což je rovno $2(1, 2, 1)^T = 2\mathbf{H}_{*12}$.
 224 Odtud $\mathbf{y} = \mathbf{x} + 2\mathbf{e}_{12}$. Blok nosiče upravíme takovým způsobem, aby zbytek po dělení
 225 jednotlivých prvků 3 dával \mathbf{y} . To lze v tomto případě docílit přičtením libovolné hodnoty
 226 z $2 + 3\mathbb{Z}$ na 12 pozici. Zvolíme pochopitelně tu, která je v absolutní hodnotě minimální,
 227 tj. -1 .

228 $\mathbf{y} = (2 \quad 0 \quad 1 \quad 1 \quad 0 \quad 1 \quad 1 \quad 2 \quad 0 \quad 2 \quad 2 \quad \mathbf{1} \quad 1)^T$
 Blok stegoobjektu: 20 21 19 19 18 16 19 20 24 23 20 **19** 19

229 Jedinou změnou velikosti 1 jsme vložili 3 $\log_2 3 \approx 4,755$ bitů zprávy.



OBRÁZEK 2.1: Efektivita Hammingových $[\frac{q^m-1}{q-1}, \frac{q^m-1}{q-1} - m]_q$ kódů v závislosti na relativní kapacitě pro $q = 2, 3, 4$ a 5 .

230 Na závěr příkladu ještě poznamenejme, že vložení zprávy lze dosáhnout mnoha jinými
 231 způsoby. Například následující blok stegoobjektu nese tutéž zprávu, ale vznikl z bloku
 232 nosiče pomocí dvou změn velikosti 1.

233 **21 21 19 19 18 16 19 20 24 23 20 20 18**

234 Relativní kapacita vkládání pomocí q -árních Hammingových kódů je

$$\alpha = \frac{m \log_2 q}{(q^m - 1)/(q - 1)}.$$

235 Z algoritmu 2.1 vidíme, že je-li $\mathbf{H}\mathbf{x} \neq \mathbf{z}$, pak při vkládání zprávy \mathbf{z} dojde ke změně jediné
 236 hodnoty v bloku. Předpokládáme, že zprávy \mathbf{z} jsou voleny náhodně z \mathbb{F}_q^m s rovnoměrným
 237 rozdělením. Potom očekávaný počet změn na jeden blok je $(q^m - 1)/q^m = 1 - q^{-m}$. Otázkou
 238 zůstává, jaká je velikost změn. Pro q liché přicházejí v úvahu změny $\delta \in \Delta_q := \{\frac{-q+1}{2}, \dots,$
 239 $-1, 0, 1, \dots, \frac{q-1}{2}\}$ a pro q sudé $\delta \in \Delta_q := \{\frac{-q}{2} + 1, \dots, -1, 0, 1, \dots, \frac{q}{2}\}$. Všechny nenulové
 240 velikosti změn jsou stejně pravděpodobné. Očekávaný příspěvek jedné změny k distorzi je
 241 tudíž $(\sum_{\delta \in \Delta_q} \delta^2)/(q - 1)$. Efektivita vkládání je

$$e = \frac{(q - 1)m \log_2 q}{(1 - q^{-m}) \sum_{\delta \in \Delta_q} \delta^2}.$$

242 Na obrázku 2.1 máme graf efektivity Hammingových $[\frac{q^m-1}{q-1}, \frac{q^m-1}{q-1} - m]_q$ kódů v zá-
 243 vislosti na relativní kapacitě pro $q = 2, 3, 4, 5$ a několik nejnižších hodnot m . Červená
 244 čára vyznačuje nejvyšší možnou efektivitu dosažitelnou pomocí Hammingových kódů pro
 245 dané α . Ve většině případů se této maximální efektivity dosahuje ternárními kódy. Vý-
 246 jimečně může být výhodnější použít binární kód a pro $\alpha > \log_2 3$ v podstatě i víceární
 247 kódy. Pro $\alpha \geq 1$ se však ve skutečnosti už nejedná o maticové vkládání v pravém slova
 248 smyslu, jde totiž o vkládání pomocí $[1, 0]_q$ kódu.

249 Ačkoliv se ternární kódy jeví jako optimální, nesmíme zapomenout, že pro některé
 250 aplikace se hodí výhradně binární kódy. Příkladem může být vkládání při redukcí barevné

251 hloubky, kdy chceme zaokrouhlovat na nejbližší sudou či lichou hodnotu. Obdobně je tomu
 252 i v případě vkládání s optimálním přiřazením parity v paletových obrázcích. Konečně také
 253 při vkládání do obrázku JPEG pomocí dekrementace absolutních hodnot AC koeficientů,
 254 jako ve stegosystému F5.

255 Dále je třeba poznamenat, že neefektivita Hammingových kódů pro $q \geq 4$ je vázána
 256 na algoritmus vkládání 2.1. Tento algoritmus sice provádí nejvýše jednu změnu v každém
 257 bloku, avšak nezohledňuje velikost změny. V příkladu 2.2 jsme viděli, že vkládání lze re-
 258 alizovat více různými způsoby, např. také změnou dvou prvků v nosiči. Dvě malé změny
 259 mohou mít nižší příspěvek k distorzi než jedna velká. S algoritmem vkládání, který mini-
 260 malizuje nikoliv počet změn, ale celkový příspěvek změn k distorzi, bychom dospěli k vyšší
 261 efektivitě vkládání pro $q \geq 4$. Otázkou je, jaká by byla složitost takového algoritmu.

262 2.3. MATICOVÉ VKLÁDÁNÍ OBECNĚ

263 Na úvod připomeňme pár základních pojmů ze základního kurzu samoopravných kódů.
 264 Podprostor \mathcal{C} prostoru \mathbb{F}_q^n nazýváme *lineární kód* délky n . Dimenzi \mathcal{C} značíme k . Definu-
 265 jeme *Hammingovu váhu* $w(\mathbf{u})$ vektoru $\mathbf{u} \in \mathbb{F}_q^n$ jako počet nenulových složek v \mathbf{u} . *Ham-*
 266 *mingova vzdálenost* vektorů $\mathbf{u}, \mathbf{v} \in \mathbb{F}_q^n$ je $d_H(\mathbf{u}, \mathbf{v}) := w(\mathbf{v} - \mathbf{u})$ a Hammingova vzdálenost
 267 vektoru $\mathbf{u} \in \mathbb{F}_q^n$ od množiny $\mathcal{X} \subseteq \mathbb{F}_q^n$ je $d_H(\mathbf{u}, \mathcal{X}) = \min_{\mathbf{v} \in \mathcal{X}} w(\mathbf{v} - \mathbf{u})$. *Minimální vzdálenost*
 268 neboli *minimální váha* kódu \mathcal{C} je $\min_{\mathbf{c} \in \mathcal{C} \setminus \{\mathbf{0}\}} w(\mathbf{c})$. Lineární kód délky n a dimenze k nad
 269 \mathbb{F}_q s minimální vzdáleností d označujeme jako $[n, k, d]_q$ kód nebo zkráceně jen $[n, k]_q$ kód.
 270 Matici \mathbf{H} typu $(n - k) \times n$ nad tělesem \mathbb{F}_q s lineárně nezávislými řádky nazýváme *paritní*
 271 *maticí* kódu \mathcal{C} , jestliže

$$\mathcal{C} = \{ \mathbf{u} \in \mathbb{F}_q^n \mid \mathbf{H}\mathbf{u} = \mathbf{0} \}.$$

272 Prostor \mathbb{F}_q^n můžeme faktorizovat podle podprostoru \mathcal{C} . Definujeme *rozkladovou třídu*
 273 *příslušnou syndromu* $\mathbf{s} \in \mathbb{F}_q^{n-k}$

$$\mathcal{C}(\mathbf{s}) := \{ \mathbf{u} \in \mathbb{F}_q^n \mid \mathbf{H}\mathbf{u} = \mathbf{s} \}.$$

274 **Definice.** Nechť \mathbf{H} je paritní matice $[n, k]_q$ kódu \mathcal{C} a nechť $\mathbf{e} : \mathbb{F}_q^{n-k} \rightarrow \mathbb{F}_q^n$ je zobrazení
 275 takové, že pro všechna $\mathbf{s} \in \mathbb{F}_q^{n-k}$ je $\mathbf{H}\mathbf{e}(\mathbf{s}) = \mathbf{s}$ a $w(\mathbf{e}(\mathbf{s})) = \min_{\mathbf{u} \in \mathcal{C}(\mathbf{s})} w(\mathbf{u})$. Potom
 276 definujeme *maticovou extrakci* a *maticové vkládání*

$$\text{Ext}_{\mathbf{H}}(\mathbf{y}) := \mathbf{H}\mathbf{y} \quad \text{a} \quad \text{Emb}_{\mathbf{H}, \mathbf{e}}(\mathbf{x}, \mathbf{z}) := \mathbf{x} + \mathbf{e}(\mathbf{z} - \mathbf{H}\mathbf{x}),$$

277 kde $\mathbf{x}, \mathbf{y} \in \mathbb{F}_q^n$ a $\mathbf{z} \in \mathbb{F}_q^{n-k}$.

278 Vidíme, že $\text{Ext}_{\mathbf{H}}(\text{Emb}_{\mathbf{H}, \mathbf{e}}(\mathbf{x}, \mathbf{z})) = \mathbf{H}(\mathbf{x} + \mathbf{e}(\mathbf{z} - \mathbf{H}\mathbf{x})) = \mathbf{H}\mathbf{x} + \mathbf{z} - \mathbf{H}\mathbf{x} = \mathbf{z}$ pro každé
 279 $\mathbf{x} \in \mathbb{F}_q^n$ a $\mathbf{z} \in \mathbb{F}_q^{n-k}$. Místo $\text{Emb}_{\mathbf{H}, \mathbf{e}}$ budeme psát jen $\text{Emb}_{\mathbf{H}}$, protože nás zobrazení \mathbf{e} samo
 280 o sobě obvykle nezajímá. Podstatné je pouze to, že zobrazení \mathbf{e} zajišťuje, že počet změn
 281 vyvolaných vkládáním je minimalizován.

282 **Definice.** Nechť \mathcal{C} je $[n, k]_q$ kód. Zobrazení $D : \mathbb{F}_q^n \rightarrow \mathcal{C}$ nazýváme *minimum-distance*
 283 *dekodér* kódu \mathcal{C} , jestliže pro každé $\mathbf{u} \in \mathbb{F}_q^n$ platí $w(D(\mathbf{u}) - \mathbf{u}) = d_H(\mathbf{u}, \mathcal{C})$.

284 Jak jsme viděli v předchozí části, v případě Hammingových kódů je výpočet $\mathbf{e}(\mathbf{s})$
 285 jednoduchý. Spočívá toliko v nalezení toho sloupce paritní matice, který je násobkem \mathbf{s} .
 286 Z definice Hammingových kódů máme zaručeno, že takový sloupec v paritní matici exis-
 287 tuje. U jiných kódů už nemusí být výpočet $\mathbf{e}(\mathbf{s})$ tak jednoduchý, a v případě obecných
 288 kódů se dokonce jedná o NP-úplný problém [1]. Následující algoritmus nám dává návod,
 289 jak spočítat $\text{Emb}_{\mathbf{H}}$ pomocí minimum-distance dekodéru samoopravného kódu.

290 **Algoritmus 2.3** (maticové vkládání).

291 **vstup:** nosič $\mathbf{x} \in \mathbb{F}_q^n$, zpráva $\mathbf{z} \in \mathbb{F}_q^{n-k}$, paritní matice $\mathbf{H} [n, k]_q$ kódu \mathcal{C} ,
 291 minimum-distance dekodér D kódu \mathcal{C}

výstup: $\text{Emb}_{\mathbf{H}}(\mathbf{x}, \mathbf{z})$

292 1 zvol $\mathbf{u} \in \mathbb{F}_q^n$ takové, že $\mathbf{H}\mathbf{u} = \mathbf{z}$

2 **return** $D(\mathbf{x} - \mathbf{u}) + \mathbf{u}$

293 *Důkaz.* Abychom dokázali správnost algoritmu, stačí ověřit, že za $\mathbf{e}(\mathbf{z} - \mathbf{H}\mathbf{x})$ v definici
 294 maticového vkládání můžeme zvolit $D(\mathbf{x} - \mathbf{u}) - (\mathbf{x} - \mathbf{u})$. Prvním požadavkem je, aby
 295 $\mathbf{H}\mathbf{e}(\mathbf{z} - \mathbf{H}\mathbf{x}) = \mathbf{z} - \mathbf{H}\mathbf{x}$. To je zřejmě splněno

$$\mathbf{H}(D(\mathbf{x} - \mathbf{u}) - (\mathbf{x} - \mathbf{u})) = \mathbf{0} - \mathbf{H}\mathbf{x} + \mathbf{z}.$$

296 Druhým požadavkem je, aby $w(\mathbf{e}(\mathbf{z} - \mathbf{H}\mathbf{x})) = \min_{\mathbf{u} \in \mathcal{C}(\mathbf{z} - \mathbf{H}\mathbf{x})} w(\mathbf{u})$, a skutečně

$$w(D(\mathbf{x} - \mathbf{u}) - (\mathbf{x} - \mathbf{u})) = d_{\mathbf{H}}(\mathbf{x} - \mathbf{u}, \mathcal{C}) = \min_{\mathbf{c} \in \mathcal{C}} w(\mathbf{c} - (\mathbf{x} - \mathbf{u})) = \min_{\mathbf{v} \in \mathcal{C} + \mathbf{u} - \mathbf{x}} w(\mathbf{v}),$$

297 kde množina $\mathcal{C} + \mathbf{u} - \mathbf{x} = \mathcal{C}(\mathbf{H}(\mathbf{u} - \mathbf{x})) = \mathcal{C}(\mathbf{z} - \mathbf{H}\mathbf{x})$. □

298 K algoritmu maticového vkládání ještě poznamenejme, že je-li paritní matice v syste-
 299 matickém tvaru, tj. $\mathbf{H} = (\mathbf{I}_{n-k} \mid \mathbf{H}')$, pak první krok algoritmu je triviální. Za \mathbf{u} lze totiž
 300 zvolit vektor \mathbf{z} doplněný k nulami $\mathbf{u} = (\mathbf{z}^T \mid \mathbf{0}_k^T)^T$.

301 Budeme-li chtít v praxi používat maticové vkládání pro obecné samoopravné kódy,
 302 pak budeme muset slevit z požadavku minimality $w(\mathbf{e}(\mathbf{s}))$, abychom docílili lepší časové
 303 efektivity. To lze realizovat jednoduše tím, že minimum-distance dekodér v algoritmu 2.3
 304 nahradíme jiným, časově efektivnějším, dekodérem.

305 **Definice.** Pro každý $[n, k]_q$ kód \mathcal{C} definujeme *pokrývací poloměr kódu* \mathcal{C}

$$r_c := \max_{\mathbf{u} \in \mathbb{F}_q^n} d_{\mathbf{H}}(\mathbf{u}, \mathcal{C})$$

306 a *průměrnou (Hammingovu) vzdálenost od* \mathcal{C}

$$r_a := \frac{1}{q^n} \sum_{\mathbf{u} \in \mathbb{F}_q^n} d_{\mathbf{H}}(\mathbf{u}, \mathcal{C}).$$

307 **Věta 2.4** (o maticovém vkládání). *Nechť \mathcal{C} je $[n, k]_q$ kód s paritní maticí \mathbf{H} , pokrývacím*
 308 *poloměrem r_c a průměrnou vzdáleností od kódu r_a . Potom*

$$\max_{\mathbf{x}, \mathbf{z}} d_{\mathbf{H}}(\mathbf{x}, \text{Emb}_{\mathbf{H}}(\mathbf{x}, \mathbf{z})) = r_c \quad a \quad \mathbb{E}_{\mathbf{x}, \mathbf{z}} [d_{\mathbf{H}}(\mathbf{x}, \text{Emb}_{\mathbf{H}}(\mathbf{x}, \mathbf{z}))] = r_a,$$

309 kde $\mathbf{x} \in \mathbb{F}_q^n$ a $\mathbf{z} \in \mathbb{F}_q^{n-k}$.

310 *Důkaz.* Nechť $\mathbf{s} \in \mathbb{F}_q^{n-k}$, pak pro každé $\mathbf{u} \in \mathcal{C}(\mathbf{s})$ platí $d_{\mathbf{H}}(\mathbf{u}, \mathcal{C}) = w(\mathbf{e}(\mathbf{s}))$, neboť

$$d_{\mathbf{H}}(\mathbf{u}, \mathcal{C}) = \min_{\mathbf{c} \in \mathcal{C}} w(\mathbf{u} - \mathbf{c}) = \min_{\mathbf{v} \in \mathcal{C} + \mathbf{u}} w(\mathbf{v}) = \min_{\mathbf{v} \in \mathcal{C}(\mathbf{s})} w(\mathbf{v}) = w(\mathbf{e}(\mathbf{s})).$$

První část tvrzení je dokázána následujícími rovnostmi. Nechť $\mathbf{x} \in \mathbb{F}_q^n$, potom

$$\begin{aligned} \max_{\mathbf{z} \in \mathbb{F}_q^{n-k}} d_{\mathbf{H}}(\mathbf{x}, \text{Emb}_{\mathbf{H}}(\mathbf{x}, \mathbf{z})) &= \max_{\mathbf{z} \in \mathbb{F}_q^{n-k}} w(\mathbf{e}(\mathbf{z} - \mathbf{H}\mathbf{x})) = \\ &= \max_{\mathbf{s} \in \mathbb{F}_q^{n-k}} w(\mathbf{e}(\mathbf{s})) = \max_{\substack{\mathbf{s} \in \mathbb{F}_q^{n-k} \\ \mathbf{u} \in \mathcal{C}(\mathbf{s})}} d_{\mathbf{H}}(\mathbf{u}, \mathcal{C}) = \max_{\mathbf{u} \in \mathbb{F}_q^n} d_{\mathbf{H}}(\mathbf{u}, \mathcal{C}) = r_c. \end{aligned}$$

311 Předposlední rovnost plyne z toho, že \mathbb{F}_q^n je disjunktním sjednocením $\mathcal{C}(\mathbf{s})$ přes všechna
 312 $\mathbf{s} \in \mathbb{F}_q^{n-k}$.

V důkazu druhé části předpokládáme, že zpráva \mathbf{z} je volena náhodně z \mathbb{F}_q^{n-k} s rovno-
 měrným rozdělením.

$$\begin{aligned} \mathbb{E}_{\mathbf{x}, \mathbf{z}} [d_{\text{H}}(\mathbf{x}, \text{Emb}_{\text{H}}(\mathbf{x}, \mathbf{z}))] &= \mathbb{E}_{\mathbf{s}} [w(\mathbf{e}(\mathbf{s}))] = \frac{1}{q^{n-k}} \sum_{\mathbf{s} \in \mathbb{F}_q^{n-k}} w(\mathbf{e}(\mathbf{s})) = \\ &= \frac{1}{q^n} \sum_{\mathbf{s} \in \mathbb{F}_q^{n-k}} q^k w(\mathbf{e}(\mathbf{s})) = \frac{1}{q^n} \sum_{\mathbf{s} \in \mathbb{F}_q^{n-k}} \sum_{\mathbf{u} \in \mathcal{C}(\mathbf{s})} d_{\text{H}}(\mathbf{u}, \mathcal{C}) = \frac{1}{q^n} \sum_{\mathbf{u} \in \mathbb{F}_q^n} d_{\text{H}}(\mathbf{u}, \mathcal{C}) = r_{\text{a}}. \end{aligned}$$

313 Předposlední rovnost opět plyne z toho, že \mathbb{F}_q^n je disjunktním sjednocením $\mathcal{C}(\mathbf{s})$ přes
 314 všechna $\mathbf{s} \in \mathbb{F}_q^{n-k}$. \square

315 V případě těles \mathbb{F}_2 a \mathbb{F}_3 je distorze prakticky rovna počtu změn vyvolaných vkládá-
 316 ním, protože téměř všechny změny lze uskutečnit přičtením nebo odečtením hodnoty 1
 317 od příslušného prvku nosiče. Výjimka může nastat v případě, kdy pracujeme s kódem
 318 nad tělesem \mathbb{F}_3 a prvky nosiče mají omezený obor hodnot, např. $\{0, 1, \dots, 255\}$. Problém
 319 nastává pro krajní hodnoty takového intervalu. Vkládáme-li hodnotu 2 do prvku s hod-
 320 notou 0 nebo hodnotu 1 do prvku s hodnotou 255 musíme v prvním případě provést
 321 změnu $+2$ a ve druhém případě změnu -2 . Zanedbáme-li tyto speciální případy, můžeme
 322 vyslovit následující.

323 **Důsledek 2.5.** *Jestliže $q \in \{2, 3\}$, pak efektivita maticového vkládání pro $[n, k]_q$ kód \mathcal{C} je*
 324 *$e = (n - k)(\log_2 q)/r_{\text{a}}$, kde r_{a} je průměrná vzdálenost od kódu.*

325 V případě těles \mathbb{F}_q , $q \geq 4$, je situace o něco složitější. Připomeňme, že pro q liché přichá-
 326 zejí v úvahu změny $\delta \in \Delta_q := \{-\frac{q+1}{2}, \dots, -1, 0, 1, \dots, \frac{q-1}{2}\}$ a pro q sudé $\delta \in \Delta_q := \{-\frac{q}{2}+1,$
 327 $\dots, -1, 0, 1, \dots, \frac{q}{2}\}$. Předpokládáme, že každá nenulová změna je stejně pravděpodobná.
 328 Distorze potom vychází $r_{\text{a}}(q-1)^{-1} \sum_{\delta \in \Delta_q} \delta^2$, kde r_{a} je průměrná vzdálenost od přísluš-
 329 ného kódu.

330 Jak již víme, maximální možný počet změn vyvolaných maticovým vkládáním je roven
 331 pokrývacímu poloměru r_{c} . Distorze je proto shora omezena hodnotou $r_{\text{c}}(q-1)^{-1} \sum_{\delta \in \Delta_q} \delta^2$,
 332 což nám naopak dává následující spodní mez na efektivitu vkládání.

333 **Definice.** Pro $[n, k]_q$ kód s pokrývacím poloměrem r_{c} definujeme *spodní efektivitu* vklá-
 334 dání

$$\underline{e} := \frac{n\alpha(q-1)}{r_{\text{c}} \sum_{\delta \in \Delta_q} \delta^2},$$

335 kde $\alpha = (1 - \frac{k}{n}) \log_2 q$.

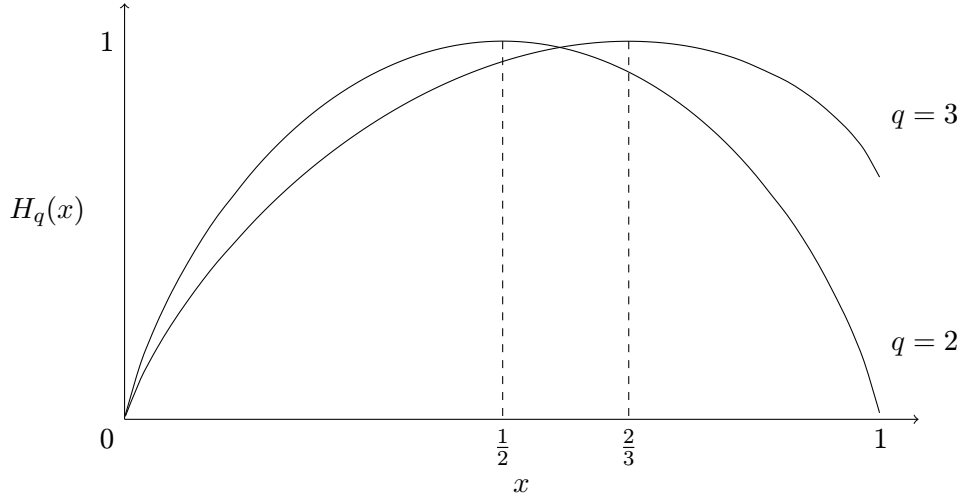
336 2.4. SPODNÍ EFEKTIVITA VKLÁDÁNÍ A VELIKOST TĚLESA

337 Cílem této části je nahlédnout, jak velikost tělesa ovlivňuje efektivitu vkládání, a pokusit
 338 se odhalit optimální velikost tělesa. Při cestě k tomuto cíli budeme mimo jiné potřebovat
 339 zobecněnou definici entropické funkce.

340 **Definice.** Pro každé celé číslo $q \geq 2$ definujeme *q -ární entropickou funkci* $H_q : [0, 1] \rightarrow \mathbb{R}$
 341 předpisem

$$H_q(x) := -x \log_q x - (1-x) \log_q(1-x) + x \log_q(q-1), \quad x \in (0, 1),$$

342 a v krajních bodech intervalu definujeme spojitě $H_q(0) = 0$ a $H_q(1) = \log_q(q-1)$.



OBRÁZEK 2.2: q -ární entropická funkce H_q pro $q = 2$ a 3 .

343 Na obrázku 2.2 máme graf q -ární entropické funkce pro $q = 2$ a $q = 3$.

344 Pro $\mathbf{v} \in \mathbb{F}_q^n$ a $r \geq 0$, definujeme kouli se středem \mathbf{v} a poloměrem r jako $\mathcal{B}(\mathbf{v}, r) := \{\mathbf{u} \in$
 345 $\mathbb{F}_q^n \mid d_H(\mathbf{u}, \mathbf{v}) \leq r\}$. Počet prvků libovolné koule v \mathbb{F}_q^n o poloměru r značíme $V_q(n, r)$. Jak
 346 známo $V_q(n, r) = \sum_{i=0}^r \binom{n}{i} (q-1)^i$

347 **Lemma 2.6.** *Nechť $0 \leq \frac{r}{n} \leq 1 - q^{-1}$, potom $n H_q(\frac{r}{n}) \geq \log_q V_q(n, r)$.*

348 *Důkaz.* Na úvod si všimněme toho, že nerovnost $\frac{r}{n} \leq 1 - q^{-1}$ uvedenou v předpokladu
 349 lemmatu můžeme přepsat $1 - (1 - \frac{r}{n})^{-1} \geq 1 - q$ a dále jako $\frac{r}{(n-r)(q-1)} \leq 1$. Pro $r = 0$
 350 lemma zřejmě platí, dále tedy předpokládejme $r > 0$.

Začneme tím, že výraz $q^{nH_q(r/n)}$ rozepíšeme podle definice entropické funkce.

$$q^{nH_q(r/n)} = \left(\frac{r}{n}\right)^{-r} \left(1 - \frac{r}{n}\right)^{-(n-r)} (q-1)^r = \frac{n^n}{r^r (n-r)^{n-r}} (q-1)^r$$

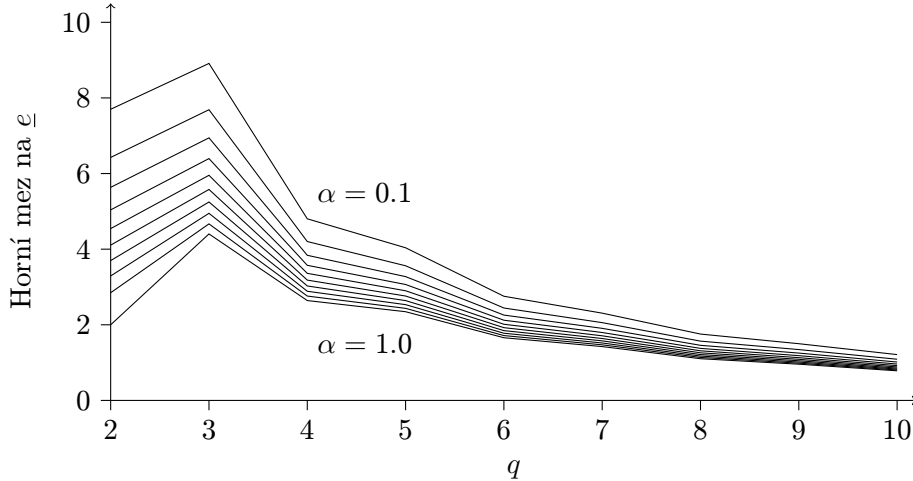
Dále vyjádříme n^n pomocí binomického rozvoje a získáme spodní odhad.

$$\begin{aligned} n^n &= (r + (n-r))^n = \sum_{i=0}^n \binom{n}{i} r^i (n-r)^{n-i} \frac{(q-1)^i}{(q-1)^i} \\ &\geq \sum_{i=0}^r \binom{n}{i} \left(\frac{r}{(n-r)(q-1)}\right)^i (n-r)^n (q-1)^i \\ &\geq \sum_{i=0}^r \binom{n}{i} \left(\frac{r}{(n-r)(q-1)}\right)^r (n-r)^n (q-1)^i \end{aligned}$$

351 V posledním kroku jsme využili předpokladu, že $\frac{r}{(n-r)(q-1)} \leq 1$. Po dosazení nerovnosti
 352 za n^n vidíme, že platí $q^{nH_q(r/n)} \geq \sum_{i=0}^r \binom{n}{i} (q-1)^i$, což jsme měli dokázat. \square

353 Z derivace entropické funkce $H'_q(x) = \log_q((1-q)(1-x^{-1}))$ lze snadno ověřit, že H_q
 354 je na intervalu $(0, 1 - q^{-1})$ rostoucí. Funkce H_q je navíc na $[0, 1 - q^{-1}]$ spojitá a její obor
 355 hodnot je tedy $[0, 1]$. Můžeme proto definovat inverzní funkci $H_q^{-1} : [0, 1] \rightarrow [0, 1 - q^{-1}]$.

356 **Věta 2.7.** *Pro každý $[n, k]_q$ kód s pokrývacím poloměrem r_c platí $r_c \geq n H_q^{-1}(\alpha / \log_2 q)$,
 357 kde $\alpha = (1 - \frac{k}{n}) \log_2 q$.*



OBRÁZEK 2.3: Horní mez $\bar{e}(q, \alpha)$ na spodní efektivitu vkládání v závislosti na q pro $\alpha = 0,1, 0,2, \dots, 1,0$.

358 *Důkaz.* Jestliže $\frac{r_c}{n} \geq 1 - q^{-1}$ pak tvrzení věty platí triviálně. Dále tedy předpokládejme,
359 že $\frac{r_c}{n} < 1 - q^{-1}$. Pokrývací poloměr kódu \mathcal{C} můžeme také chápat jako nejmenší r_c takové,
360 že $\bigcup_{\mathbf{c} \in \mathcal{C}} \mathcal{B}(\mathbf{c}, r_c) = \mathbb{F}_q^n$. Jinými slovy pro každý $[n, k]_q$ kód s pokrývacím poloměrem r_c platí
361 $q^n \leq q^k V_q(n, r_c)$. Podle lemmatu 2.6 dostáváme horní odhad na délku zprávy $n - k \leq$
362 $\log_q V_q(n, r_c) \leq n H_q(\frac{r_c}{n})$. Vzhledem k tomu, že H_q je na intervalu $[0, 1 - q^{-1}]$ rostoucí,
363 máme $H_q^{-1}(1 - \frac{k}{n}) \leq \frac{r_c}{n}$. \square

364 Z předchozí věty plyne horní mez na spodní efektivitu maticového vkládání v závislosti
365 na relativní kapacitě α

$$\bar{e}(q, \alpha) := \frac{\alpha(q-1)}{H_q^{-1}(\alpha/\log_2 q) \sum_{\delta \in \Delta_q} \delta^2} \geq \underline{e}. \quad (2.1)$$

366 Na obrázku 2.3 máme grafy této horní meze v závislosti na q pro několik různých hodnot α .
367 Grafy naznačují, že chceme-li pro pevně zvolené α dosáhnout nejvyšší možné efektivity
368 maticového vkládání, měli bychom použít nějaký ternární kód. Tato úvaha ovšem stojí na
369 několika nepotvrzených předpokladech. Především nemáme dokázáno, že horní mez (2.1) je
370 skutečně dosažitelná, jinými slovy, že pro každé α skutečně existují ternární kódy, jejichž
371 pokrývací poloměr je libovolně blízko k mezi uvedené ve větě 2.7. V případě binárních
372 kódů tomu tak je. Přesněji řečeno, je známo, že pro každé α a $\epsilon > 0$ existuje $[n, k]_2$ kód
373 s pokrývacím poloměrem nejvýše $n H_2^{-1}(\alpha)$ takový, že $|1 - \frac{k}{n} - \alpha| \leq \epsilon$. To plyne z následující
374 věty, kde za ϱ zvolíme $H_2^{-1}(\alpha)$.

375 **Věta 2.8** ([2], Theorem 12.3.5). *Pro každé $\varrho \in [0, \frac{1}{2})$ existuje posloupnost celých čísel*
376 *$\{k_n\}_{n=1}^\infty$ taková, že*

$$k_n/n \leq 1 - H_2(\varrho) + O(n^{-1} \log n)$$

377 *a podíl všech $[n, k_n]_2$ kódů s pokrývacím poloměrem nejvýše ϱn konverguje k 1 pro $n \rightarrow \infty$.*

378 Dále je třeba mít na paměti, že (2.1) není horní mezí na efektivitu, ale na spodní efek-
379 tivitu. Efektivita vkládání je přitom pro daný kód vždy vyšší než jeho spodní efektivita.
380 Rozdíl mezi těmito dvěma veličinami spočívá v tom, že místo očekávaného počtu změn r_a
381 vyvolaných vkládáním počítáme u spodní efektivity s maximálním počtem změn r_c . Aby

382 tedy pro nějaký kód byla spodní efektivita kódu dobrou aproximací jeho skutečné efek-
 383 tivity, je třeba, aby hodnoty r_c a r_a tohoto kódu měly k sobě blízko. Následující věta
 384 potvrzuje, že alespoň v případech „většiny“ binárních kódů tomu tak skutečně je.

385 **Věta 2.9** ([6], Theorem 4). *Nechť $0 < \alpha < 1$ a $\varepsilon > 0$. Podíl všech $[n, (1 - \alpha)n]_2$ kódů, pro
 386 něž platí $|r_c - r_a|/n \leq \varepsilon$, konverguje k 1 pro $n \rightarrow \infty$.*

387 Konečně nesmíme zapomenout, že celá naše úvaha stojí na předpokladu, že statistickou
 388 detekovatelnost vkládání lze měřit pomocí distorze, což je ovšem otevřená otázka.

389 2.5. PERFEKTNÍ KÓDY A HORNÍ MEZ NA EFEKTIVITU VKLÁDÁNÍ

390 **Tvrzení 2.10.** *Nechť \mathcal{C} je $[n, k]_q$ kód s průměrnou vzdáleností r_a a nechť r je největší celé
 391 číslo takové, že $V_q(n, r) \leq q^{n-k}$. Potom*

$$r_a \geq q^{k-n} \sum_{i=1}^r i(q-1)^i \binom{n}{i},$$

392 *přičemž rovnost nastává právě tehdy, když \mathcal{C} je perfektní kód.*

393 *Důkaz.* Označme \mathcal{D} multimnožinu $\{w(\mathbf{c} - \mathbf{u}) \mid \mathbf{u} \in \mathbb{F}_q^n, \mathbf{c} \in \mathcal{C}\}$. Každá hodnota $i \in$
 394 $\{0, 1, \dots, n\}$ má v \mathcal{D} četnost $q^k(q-1)^i \binom{n}{i}$. Naším cílem je získat spodní odhad výrazu
 395 $\sum_{\mathbf{u} \in \mathbb{F}_q^n} \min_{\mathbf{c} \in \mathcal{C}} w(\mathbf{c} - \mathbf{u})$. Tento výraz vyjadřuje součet určité q^n -prvkové podmnožiny
 396 multimnožiny \mathcal{D} , a můžeme ho proto zespolu odhadnout součtem q^n nejmenších hodnot
 397 z \mathcal{D} . Podle předpokladu je $\sum_{i=0}^r q^k(q-1)^i \binom{n}{i} \leq q^n$, a následující spodní odhad je tedy
 398 součtem nejvýše q^n nejmenších hodnot z \mathcal{D}

$$\sum_{\mathbf{u} \in \mathbb{F}_q^n} \min_{\mathbf{c} \in \mathcal{C}} w(\mathbf{c} - \mathbf{u}) \geq \sum_{i=0}^r i \cdot q^k(q-1)^i \binom{n}{i}.$$

399 Jestliže \mathcal{C} je perfektní kód s minimální vahou d , pak $r = (d-1)/2$ a \mathbb{F}_q^n je disjunktním
 400 sjednocením $\mathcal{B}_q(\mathbf{c}, r)$ přes všechna $\mathbf{c} \in \mathcal{C}$. V takovém případě zřejmě nastává rovnost.

401 Naopak, nastává-li rovnost, pak $q^k V_q(n, r) = q^n$ a v součtu $\sum_{\mathbf{u} \in \mathbb{F}_q^n} \min_{\mathbf{c} \in \mathcal{C}} w(\mathbf{c} - \mathbf{u})$
 402 sčítáme právě q^n nejmenších hodnot z \mathcal{D} . Každá z těchto hodnot je nejvýše r , a proto
 403 každé $\mathbf{u} \in \mathbb{F}_q^n$ leží ve sjednocení $\bigcup_{\mathbf{c} \in \mathcal{C}} \mathcal{B}_q(\mathbf{c}, r)$. Jelikož $q^k V_q(n, r) = q^n$, musí se jednat
 404 o disjunktní sjednocení, tím pádem o perfektní kód. \square

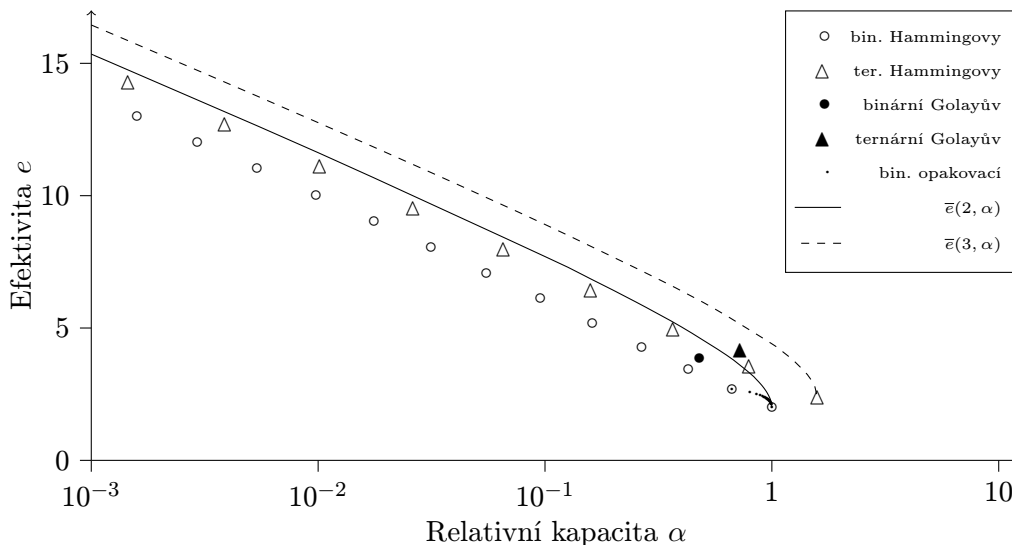
405 Připomeňme, že mezi perfektní kódy patří všechny úplné kódy, jednobodové kódy a
 406 binární opakovací kódy liché délky. Tyto jsou známy jako triviální perfektní kódy. Každý
 407 netriviální perfektní kód má parametry Hammingova kódu, Golayova $[23, 12, 7]_2$ kódu,
 408 anebo Golayova $[11, 6, 5]_3$ kódu.

409 Spojením předchozího tvrzení s důsledkem 2.5 získáme následující.

410 **Důsledek 2.11.** *Nechť \mathcal{C} je $[n, k]_q$ kód, kde $q \in \{2, 3\}$, a nechť r je největší celé číslo
 411 takové, že $V_q(n, r) \leq q^{n-k}$. Potom efektivita maticového vkládání pro kód \mathcal{C} je*

$$e \leq \frac{q^{n-k}(n-k) \log_2 q}{\sum_{i=1}^r i(q-1)^i \binom{n}{i}},$$

412 *přičemž rovnost nastává právě tehdy, když \mathcal{C} je perfektní kód.*



OBRÁZEK 2.4: Efektivita binárních a ternárních perfektních kódů v závislosti na relativní kapacitě ve srovnání s horní mezí na spodní efektivitu pro $q = 2$ a 3 .

413 Tento důsledek nám říká, že zvolíme-li pevně n , α a q , a budeme vybírat mezi všemi
 414 $[n, n(1 - \alpha/\log_2 q)]_q$ kódy, pak nejvyšší efektivitu vkládání dosáhneme volbou perfektního
 415 kódu (existuje-li perfektní kód s těmito parametry). Toto ovšem neznamená, že by
 416 perfektní kódy byly nejlepší volbou za každých podmínek. Na obrázku 2.4 máme graf efek-
 417 tivity různých binárních a ternárních perfektních kódů v závislosti na relativní kapacitě.
 418 Vidíme, že perfektní kódy obecně nedosahují příslušnou horní mezí na spodní efektivitu
 419 vkládání. Z předchozí části přitom víme, že zvolíme-li pevně pouze α a q , a připustíme,
 420 aby n bylo libovolně velké, pak alespoň pro $q = 2$ existují kódy s těmito parametry, kte-
 421 rými se lze přiblížit libovolně blízko k mezi $\bar{e}(2, \alpha)$. Nicméně perfektní kódy nemají svou
 422 efektivitou daleko k příslušné mezi. Odstup od horní meze na spodní efektivitu je do výše
 423 1,7.

424 **Příklad 2.12.** Díky důsledku 2.11 můžeme jednoduše spočítat efektivitu vkládání pro
 425 Golayovy kódy. Stačí za r dosadit $(d - 1)/2$, kde d je minimální váha kódu. Pro binární
 426 Golayův kód máme $\alpha = 11/23$ a $e = 11 \cdot 2^{11} / \sum_{i=1}^3 i \binom{23}{i} = 11264/2921 \approx 3,856$. Pro
 427 ternární Golayův kód máme $\alpha = 5(\log_2 3)/11 \approx 0,720$ a $e = 5 \cdot 3^5 (\log_2 3) / \sum_{i=1}^2 i \cdot 2^i \binom{11}{i} =$
 428 $1215(\log_2 3)/462 \approx 4,168$.

429 **Cvičení 2.13.** Ukažte, že efektivita binárního opakovacího kódu liché délky n je

$$\frac{2(n-1)}{n \left(1 - 2^{1-n} \binom{n-1}{(n-1)/2} \right)}.$$

430 3. SOUČTOVĚ A ROZDÍLOVĚ POKRÝVACÍ MNOŽINY

431 V této části představíme metodu vkládání, která zobecňuje maticové vkládání ternárními
 432 kódy. Začneme jednoduchým příkladem schématu, které rozděljuje nosič na dvouprvkové

$x_1 + 2x_2$	zpráva z			
	0	1	2	3
0	(0, 0)	(+1, 0)	(0, ±1)	(-1, 0)
1	(-1, 0)	(0, 0)	(+1, 0)	(0, ±1)
2	(0, ±1)	(-1, 0)	(0, 0)	(+1, 0)
3	(+1, 0)	(0, ±1)	(-1, 0)	(0, 0)

TABULKA 3.1: Vkládání pomocí $(2, 1, \mathbb{Z}_4)$ -SDCS.

bloky (x_1, x_2) a do každého bloku vkládá kvaternární symbol $z \in \mathbb{Z}_4$. Extrakce je definována jako $\text{Ext}(y_1, y_2) = (y_1 + 2y_2) \bmod 4$. Vkládání probíhá tak, že nejdříve provedeme extrakci na bloku nosiče a ověříme, zda je výsledek roven z . Jestliže není, změníme blok nosiče tak, jak je uvedeno v tabulce 3.1. Například jestliže $\text{Ext}(x_1, x_2) = (x_1 + 2x_2) \bmod 4 = 3$, ale my chceme do bloku vložit symbol 2, pak stačí snížit x_1 o 1, čili $(y_1, y_2) = (x_1, x_2) + (-1, 0)$. Očekávaný příspěvek k celkové distorzi je $\frac{3}{4}$ pro každý blok. V každém bloku máme 2 bity zprávy, čili efektivita je $e = 2/\frac{3}{4} = \frac{8}{3} \approx 2,667$ a relativní kapacita je $\alpha = 2/2 = 1$. To je zatím nejlepší schéma s takto vysokou kapacitou, které jsme dosud viděli. Nyní toto schéma zobecníme.

Definice. Nechť n a r jsou přirozená čísla, $(G, +)$ je konečná abelovská grupa a $\mathcal{A} = \{a_1, \dots, a_n\}$ je posloupnost po dvou různých hodnot z G . Jestliže pro každé $g \in G$ existují $s_1, \dots, s_n \in \{-1, 0, 1\}$ takové, že

$$\sum_{i=1}^n |s_i| \leq r \quad \text{a} \quad \sum_{i=1}^n s_i a_i = g,$$

pak říkáme, že \mathcal{A} je *součtově a rozdílově pokrývací množina* (sum and difference covering set, SDCS) s parametry (n, r, G) . Pro každé $g \in G$ definujeme *SDCS váhu* prvku g

$$w_{\mathcal{A}}(g) := \min \left\{ \sum_{i=1}^n |s_i| \mid s_1, \dots, s_n \in \{-1, 0, 1\}, \sum_{i=1}^n s_i a_i = g \right\}.$$

Úvodní příklad můžeme popsat jako SDCS $\{1, 2\}$ s parametry $(2, 1, \mathbb{Z}_4)$.

Všimněme si, že z každého $[n, k]_3$ kódu s pokrývacím poloměrem r_c lze sestavit SDCS s parametry $(n, r_c, \mathbb{F}_3^{n-k})$ jednoduše tak, že za \mathcal{A} zvolíme sloupce jeho paritní matice.

Definice. Nechť $\mathcal{A} = (a_1, \dots, a_n)$ je SDCS a $(y_1, \dots, y_n)\mathbb{Z}^n$ je blok stegoobjektu. Definujeme *SDCS extrakci* z bloku (y_1, \dots, y_n) jako

$$\text{Ext}_{\mathcal{A}}(y_1, \dots, y_n) := \sum_{i=1}^n y_i a_i.$$

Algoritmus 3.1 (SDCS vkládání).

vstup: SDCS $\mathcal{A} = (a_1, \dots, a_n) \in G^n$, blok nosiče $(x_1, \dots, x_n) \in \mathbb{Z}^n$, zpráva $z \in G$

výstup: blok stegoobjektu $(y_1, \dots, y_n) \in \mathbb{Z}^n$ takový, že $\text{Ext}_{\mathcal{A}}(y_1, \dots, y_n) = z$

1 $g := z - \sum_{i=1}^n x_i a_i$

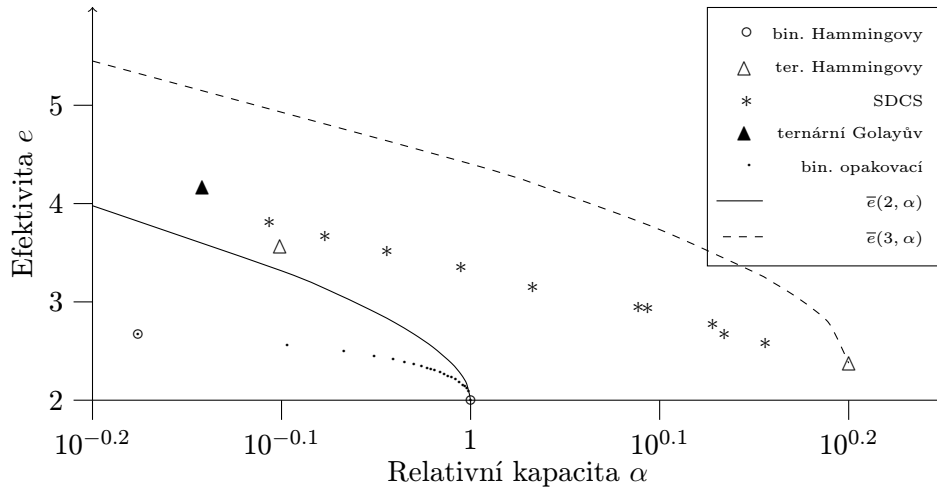
2 najdi s_1, \dots, s_n takové, že $g = \sum_{i=1}^n s_i a_i$ a zároveň $\sum_{i=1}^n |s_i| = w_{\mathcal{A}}(g)$

3 **return** $(x_1 + s_1, \dots, x_n + s_n)$

Důkaz. $\text{Ext}_{\mathcal{A}}(y_1, \dots, y_n) = \sum_{i=1}^n (x_i + s_i) a_i = g + \sum_{i=1}^n x_i a_i = z.$ □

(n, r, G)	α	e	\mathcal{A}
$(4, 3, \mathbb{Z}_{53})$	1,4320	2,5727	{1, 2, 6, 18}
$(3, 2, \mathbb{Z}_{17})$	1,3625	2,6726	{1, 2, 6}
$(5, 3, \mathbb{Z}_{105})$	1,3428	2,7756	{1, 3, 14, 36, 42}
$(6, 3, \mathbb{Z}_{174})$	1,2405	2,9300	{1, 3, 9, 21, 51, 86}
$(4, 2, \mathbb{Z}_{30})$	1,2267	2,9441	{1, 3, 9, 14}
$(5, 2, \mathbb{Z}_{42})$	1,0785	3,1445	{1, 2, 7, 14, 18}
$(6, 2, \mathbb{Z}_{61})$	0,9885	3,3498	{1, 2, 5, 11, 19, 27}
$(7, 2, \mathbb{Z}_{80})$	0,9031	3,5122	{1, 22, 26, 30, 34, 36, 39}
$(8, 2, \mathbb{Z}_{104})$	0,8376	3,6676	{2, 4, 6, 13, 16, 34, 39, 40}
$(9, 2, \mathbb{Z}_{132})$	0,7827	3,8109	{2, 11, 33, 34, 44, 50, 55, 58, 62}

TABULKA 3.2: Příklady různých SDCS, jejich relativní kapacita a efektivita. Převzato z [8].



OBRÁZEK 3.1: Efektivita SDCS z tabulky 3.2 v závislosti na relativní kapacitě ve srovnání s perfektními kódy a s horní mezí na spodní efektivitu pro $q = 2$ a 3 .

456 V případě, že prvky stegoobjektu mají omezený obor hodnot $\mathcal{X} \subseteq \mathbb{Z}$, může i zde nastat
457 stejný problém jako při maticovém vkládání, že $y_i = x_i - 1 \notin \mathcal{X}$ nebo $y_i = x_i + 1 \notin \mathcal{X}$.
458 V prvním případě musíme situaci napravit tím, že zvolíme $y_i = x_i + 2$ a ve druhém případě
459 $y_i = x_i - 2$. Tyto speciální případy z následujících úvah vynecháváme.

460 Z algoritmu vkládání vidíme, že hodnota r udává horní mez na počet změn v bloku
461 vyvolaných SDCS vkládáním. Relativní kapacita a efektivita SDCS vkládání jsou zřejmě

$$\alpha = \frac{\log_2 |G|}{n} \quad \text{a} \quad e = \frac{\log_2 |G|}{\sum_{g \in G} w_{\mathcal{A}}(g) / |G|} = \frac{|G| \alpha n}{\sum_{g \in G} w_{\mathcal{A}}(g)},$$

462 za předpokladu, že zprávy jsou voleny z G náhodně s rovnoměrným rozdělením. Ta-
463 bulka 3.2 uvádí příklady několika různých SDCS, jejich relativní kapacitu a efektivitu.
464 Na obrázku 3.1 potom vidíme srovnání těchto SDCS s perfektními kódy a s horní mezí na
465 spodní efektivitu pro $q = 2$ a 3 .

466 Sčítáním odečítáním i prvků z \mathcal{A} lze sestavit nejvýše $2^i \binom{n}{i}$ prvků z G , proto pro každou
467 (n, r, G) -SDCS platí

$$|G| \leq \sum_{i=0}^r 2^i \binom{n}{i} = V_3(n, r). \quad (3.1)$$

468 Z tohoto můžeme odvodit obdobu věty 2.7.

469 **Věta 3.2.** *Pro každou (n, r, G) -SDCS platí $r \geq nH_3^{-1}(\alpha/\log_2 3)$.*

470 *Důkaz.* Jestliže $r/n \geq \frac{2}{3}$ pak tvrzení věty platí triviálně. Dále tedy předpokládejme, že
471 $r/n < \frac{2}{3}$. Podle rovnice 3.1 a lemmatu 2.6 je $\log_3 |G| \leq \log_3 V_3(n, r) \leq nH_3(r/n)$. Vzhledem
472 k tomu, že H_3 je na intervalu $[0, \frac{2}{3}]$ rostoucí, máme $H_3^{-1}((\log_3 |G|)/n) \leq r/n$. Zbývá dosadit
473 $\log_3 |G| = n\alpha/\log_2 3$. \square

474 Stejně jako v části o maticovém vkládání můžeme definovat pojem spodní efektivity
475 tak, že očekávaný počet změn vyvolaných vkládáním nahradíme maximálním počtem
476 změn. Z předchozí věty pak plyne horní odhad na spodní efektivitu vkládání

$$e := \frac{\alpha n}{r} \leq \frac{\alpha}{H_3^{-1}(\alpha/\log_2 3)}.$$

477 Tento výsledek je shodný s tím, který jsme získali pro maticové vkládání ternárními kódy.
478 Jinými slovy pomocí SDCS nelze v nejhorším případě dosáhnout o nic lepší efektivity
479 než pomocí maticového vkládání. Nicméně SDCS mohou vést k mnohem jednodušší sché-
480 matům. Dobrým příkladem je $(3, 2, \mathbb{Z}_{17})$ -SDCS $\{1, 2, 6\}$ s relativní kapacitou 1,3625 a
481 efektivitou 2,6726. Zkuste sestrojít srovnatelně jednoduchý ternární kód s podobnými pa-
482 rametry.

483 4. PSANÍ NA MOKRÝ PAPÍR

484 V kapitole 2 jsme viděli, jak se dá minimalizovat dopad změn vyvolaných vkládáním, a
485 to minimalizací jejich počtu pomocí samoopravných kódů. V této kapitole si předvedeme
486 další aplikaci samoopravných kódů, kterou lze opět využít k minimalizaci dopadu změn,
487 ale také k několika dalším zajímavým účelům.

488 Je zřejmé, že vkládání do některých prvků nosiče má vyšší dopad na detekovatelnost
489 než vkládání do jiných. V případě rastrových a paletových obrázků se například chceme
490 vyhnout vkládání do pixelů, které se nacházejí v oblastech s víceméně uniformní barvou,
491 zejména pak v přesvícených oblastech obrázku. V obrázcích JPEG se zase chceme vyhnout
492 vkládání do nulových AC koeficientů, protože jejich změna zanechává v obrázku viditelné
493 stopy.

494 Máme-li nosič délky n a zprávu délky $m \leq n$, pak můžeme podle předchozích kritérií
495 vybrat m prvků nosiče, které jsou nejvhodnější pro vkládání, a do nich vložit zadanou
496 zprávu. Problém je, že příjemce nemůže vědět, do kterých prvků jsme vkládali. U obrázku
497 JPEG jsme se mohli například vyhnout nulovým AC koeficientům, ale při vkládání se
498 některé nenulové koeficienty změnilly na nulové a příjemce neví, které nuly vznikly vklá-
499 dáním, a které pocházejí z nosiče. Obdobně u rastrového nebo paletového obrázku jsme se
500 mohli vyhnout oblastem s nízkou texturou, ale vložením se textura v některých oblastech
501 snížila a příjemce opět nemůže vědět, ve kterých oblastech se textura snížila vkládáním, a
502 ve kterých byla nízká již v nosiči. Tento problém se dá řešit tak, že dojde-li například při
503 vkládání do obrázku JPEG k vynulování AC koeficientu, pak vložený bit považujeme za
504 ztracený, vynulovaný koeficient ponecháme na hodnotě 0 a bit vložíme znovu do dalšího
505 nenulového AC koeficientu. Příjemce potom extrahuje bity zprávy výhradně z nenulových
506 AC koeficientů. Nevýhodou tohoto postupu je, že v typickém obrázku JPEG tímto dojde
507 ke snížení kapacity o přibližně 25 %. Tento problém by se dal také řešit tak, že v rámci
508 vkládání bychom příjemci navíc nějakým způsobem poskytli informaci o tom, které prvky
509 obsahují vloženou zprávu a které nikoliv. Měli bychom zdůraznit, že tuto informaci není

510 obecně možné sdělit v rámci klíče, protože ten si strany zpravidla dohodnou ještě předtím,
511 než vůbec dojde k výběru nosiče nebo dokonce vzniku nosiče.

512 Tento problém se přirovnává k psaní na mokrý papír. Na papíře máme obrázek, jehož
513 některé pixely jsou mokré a ostatní suché. Suché pixely smíme upravovat, ale mokré nikoliv.
514 Obrázek odešleme, ale ještě než dorazí příjemci, tak uschne. Příjemce nyní netuší, které
515 pixely jsme využili ke vkládání, a které nikoliv.

516 Podle následující věty můžeme i prostřednictvím částečně mokrého nosiče skoro jistě
517 sdělit příjemci téměř stejně velkou zprávu, jako kdyby příjemce znal rozmístění suchých
518 prvků. Podmínkou je dostatečná velikost nosiče. Poznamenejme, že příjemce se ve skuteč-
519 nosti nedozví, které prvky byly suché.

520 **Věta 4.1** (o mokrém nosiči). *Pro každé $\varepsilon > 0$, $\delta > 0$ a $\sigma \in [0, 1]$ existuje $n \in \mathbb{N}$ a*
521 *stegosystém takový, že do nosiče s kapacitou n symbolů, z nichž σn je suchých, lze s prav-*
522 *děpodobností alespoň $1 - \delta$ vložit informaci velikosti $(\sigma - \varepsilon)n$ symbolů.*

523 *Důkaz.* Označme množinu všech symbolů Σ a její velikost q . (Obvykle uvažujeme $\Sigma = \mathbb{F}_2$
524 nebo $\Sigma = \mathbb{F}_3$.) Dále označme \mathcal{Z} množinu všech zpráv, ta má $q^{(\sigma - \varepsilon)n}$ prvků. Stegosystém
525 se inicializuje vytvořením kódové knihy $\mathcal{B} = \{\mathcal{P}_z \mid z \in \mathcal{Z}\}$, do které se náhodně rozmístí
526 všechny n -tice ze Σ^n tak, aby na každé stránce \mathcal{P}_z bylo $q^{(1 - \sigma + \varepsilon)n}$ n -tic. Vkládací a extrakční
527 algoritmus tuto kódovou knihu sdílí. Vkládací algoritmus má na vstupu nosič s $n - \sigma n$
528 mokřými symboly a zprávu z . Vkládání probíhá tak, že algoritmus se pokusí na stránce \mathcal{P}_z
529 najít vhodnou n -tici, tj. takovou, která se na mokřích pozicích shoduje s nosičem, a
530 v případě úspěchu vytvoří stegoobjekt zaznamenáním této n -tice do nosiče. Mokré pozice
531 tak zůstávají nezměněny. Extrakční algoritmus přečte ze stegoobjektu n -tici a vyhledá ji
532 v knize, čímž určí stránku, na které se nachází, a z indexu stránky získá zprávu. Otázkou
533 je, zda se vkládacímu algoritmu podaří na stránce \mathcal{P}_z najít n -tici, která má na $n - \sigma n$
534 předem určených pozicích předem určené hodnoty. Pro každou zprávu je v množině Σ^n
535 celkem $q^{\sigma n}$ vhodných n -tic. Stránka \mathcal{P}_z vznikla náhodným výběrem $q^{(1 - \sigma + \varepsilon)n}$ n -tic ze
536 Σ^n . Pravděpodobnost, že náhodně zvolená n -tice z Σ^n není vhodná je $(q^n - q^{\sigma n})/q^n$.
537 Pravděpodobnost, že žádná z $q^{n - \sigma n + \varepsilon n}$ náhodně vybraných n -tic, které leží v \mathcal{P}_z , není
538 vhodná, je méně než

$$\left(\frac{q^n - q^{\sigma n}}{q^n}\right)^{q^{n - \sigma n + \varepsilon n}} = \left(\left(1 + \frac{-1}{q^{n(1 - \sigma)}}\right)^{q^{n(1 - \sigma)}}\right)^{q^{\varepsilon n}}.$$

539 Pro $n \rightarrow \infty$ má výraz $\left(1 + \frac{-1}{q^{n(1 - \sigma)}}\right)^{q^{n(1 - \sigma)}}$ limitu e^{-1} a pro dostatečně velká n je tedy
540 menší než 1. Z toho plyne, že pravděpodobnost, že \mathcal{P}_z neobsahuje vhodnou n -tici, se
541 s rostoucím n blíží nule. \square

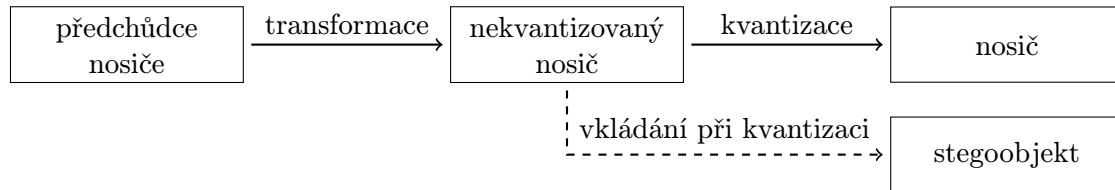
542 Pro algoritmy vkládání a extrakce popsané v důkazu předchozí věty můžeme použít
543 označení $\mathbf{y} = \text{Emb}_{\mathcal{B}}(\mathbf{x}, \mathcal{S}, \mathbf{z})$ a $\mathbf{z} = \text{Ext}_{\mathcal{B}}(\mathbf{y})$, kde \mathbf{x} , \mathbf{y} , \mathbf{z} a \mathcal{S} jsou nosič, stegoobjekt,
544 zpráva a množina indexů suchých složek nosiče. Je zřejmé, že stegosystém tak, jak je
545 popsán v důkazu, není vhodný pro praktické použití, protože velikost kódové knihy je
546 exponenciální v n . Tento problém lze řešit pomocí samoopravných kódů, a to tak, že
547 kódovou knihou bude faktorprostor $\mathcal{B} = \mathbb{F}_q^n / \mathcal{C}$ a stránky knihy budou jeho třídy $\mathcal{P}_z =$
548 $\mathcal{C}(\mathbf{z})$. Potom $\text{Ext}_{\mathbb{F}_q^n / \mathcal{C}}(\mathbf{y}) = \mathbf{H}\mathbf{y}$, kde \mathbf{H} je paritní matice kódu \mathcal{C} . Podrobněji toto řešení
549 rozebereme na konci kapitoly, nejdříve si ale ukážeme několik aplikací.

550 4.1. ZÁKLADNÍ APLIKACE PSANÍ NA MOKRÝ PAPIR

551 V úvodu této kapitoly jsme byli motivováni zabývat se psáním na mokrý papír, protože
552 jsme usilovali o snížení detekovatelnosti vkládání tím, že ke vkládání využijeme ty prvky

553 nosiče, jejichž změna má nejnižší dopad na detekovatelnost. Nyní se podíváme na dvě
554 metody publikované v článku [5], které na této myšlence budují.

555 **4.1.1. Vkládání při kvantizaci.** Uvažme situaci, kdy nosič vzniká z nějakého předchůdce
556 transformací a následnou kvantizací. Transformací zde rozumíme nějaký proces jehož vý-
557 sledkem jsou obvykle hodnoty s plovoucí čárkou. Kvantizací se rozumí zaokrouhlení každé
558 z těchto hodnot na nejbližší povolenou hodnotu. Typickou množinou povolených hodnot
559 může být $\{0, 1, \dots, 255\}$, potom kvantizace převádí například $-3 \mapsto 0$ nebo $4,71 \mapsto 5$.
560 Množina povolených hodnot nemusí být pouze interval celočíselných hodnot, ale může se
561 například jednat o množinu všech celočíselných násobků čísla 3.



562

563 Pod pojmem transformace si lze představit zejména následující.

- 564 • Předchůdce je rastrový obrázek a transformace snižuje hloubku barev obrázku tak,
565 že každý prvek vydělí nastavenou konstantou. Redukujeme-li například 30bitový
566 obrázek (tj. na každou červenou, zelenou nebo modrou složku připadá 10 bitů), na
567 24bitový obrázek (tj. na složku připadá 8 bitů), dělíme každý prvek číslem 4.
- 568 • Předchůdce je rastrový obrázek a transformace zmenšuje rozměry obrázku. Například
569 zmenšení na polovinu v obou směrech lze provést tak, že každý blok 2×2 pixelů se
570 převede na jediný pixel zprůměrováním barev všech čtyř pixelů. (Mnohem lepších
571 vizuálních výsledků lze však dosáhnout nejrůznějšími interpolačními metodami.)
- 572 • Předchůdce je rastrový obrázek a transformace převádí každý blok 8×8 hodnot
573 jasové složky obrázku na blok 8×8 DCT koeficientů.

574 U obrázků, které vznikly takovýmto procesem, získáváme měřítko, podle kterého lze
575 vybírat prvky nosiče vhodné ke vkládání. Nechť \mathbb{Z} je množina povolených hodnot. Má-li
576 nezaokrouhlený prvek například hodnotu 14,9, pak při zaokrouhlení na nejbližší celé číslo
577 vzniká zaokrouhlovací chyba 0,1 a distorze $0,1^2$. Kdybychom do takového prvku chtěli
578 vložit bit 0, zaokrouhlili bychom jej na 14, a naopak při vkládání bitu 1 bychom zaokrouhlili
579 na 15. Očekávaná distorze při vkládání do takového prvku je tedy $(0,1^2 + 0,9^2)/2 = 0,41$,
580 což je o 0,4 vyšší než při pouhém zaokrouhlení. Srovnáme to se situací, kdy nezaokrouhlený
581 prvek má hodnotu 14,5. Je zřejmé, že očekávaná distorze vyvolaná vkládáním do takového
582 prvku je shodná s distorzí vyvolanou zaokrouhlením na nejbližší celé číslo, a to 0,25.
583 Takovéto prvky jsou tedy zdaleka nejvhodnější pro vkládání. Čím vyšší je vzdálenost
584 nezaokrouhleného prvku od množiny celých čísel, tím vhodnější je daný prvek pro vkládání.

585 Obecně můžeme ke každému prvku nezaokrouhleného nosiče \tilde{x}_i přiřadit číslo ρ_i , které
586 udává rozdíl mezi očekávanou distorzí vyvolanou vkládáním do prvku a distorzí vyvolanou
587 zaokrouhlením na nejbližší povolenou hodnotu. Množinu indexů suchých prvků nosiče \mathcal{S}
588 zvolíme tak, aby celkový očekávaný příspěvek vkládání k distorzi $\sum_{i \in \mathcal{S}} \rho_i$ byl minimalizo-
589 ván. V případě, kdy množina povolených hodnot je \mathbb{Z} , můžeme ρ_i vyjádřit pomocí vzdále-
590 nosti \tilde{x}_i od množiny celých čísel $\delta_i = \text{dist}(\tilde{x}_i, \mathbb{Z}) = |\lceil \tilde{x}_i \rceil - \tilde{x}_i|$ jako $\rho_i = \frac{1}{2}(\delta_i^2 + (1 - \delta_i)^2) - \delta_i^2 =$
591 $\frac{1}{2} - \delta_i$.

592 Tento postup, kdy nejdříve shora uvedeným způsobem vybereme suché prvky nosiče
593 a potom metodou psaní na mokřý papír vložíme zprávu tak, že usměrníme jejich zao-
594 krouhlení, nazýváme *vkládání při kvantizaci* (perturbed quantization, PQ).

595 4.1.2. **Vkládání při dvojitě ztrátové kompresi.** V předchozí části jsme poznamenali,
 596 že zdaleka nejvýhodnější je vkládat do prvků, jejichž nezaokrouhlená hodnota leží přesně
 597 uprostřed mezi dvěma po sobě následujícími povolenými hodnotami. Takoveto prvky bu-
 598 deme označovat jako *nestranné*. V běžném obrázku bude takovýchto prvků jen velmi málo.
 599 Otázkou je, zda by se dalo nějakým přirozeným způsobem zařídit, aby se takovýchto prvků
 600 vyskytovalo víc.

601 Pripomeňme, jakým způsobem se ve formátu JPEG docílí ztrátové komprese obrázku.
 602 Blok 8×8 hodnot (např. hodnot jasové složky obrázku) se převede na blok 8×8 DCT
 603 koeficientů $\mathbf{d} = (d_{i,j})$ a tyto koeficienty se následně zaokrouhlí s různou mírou přesnosti.
 604 Přesnost zaokrouhlení každého DCT koeficientu je určena kvantizační tabulkou $\mathbf{Q} = (q_{i,j})$.
 605 Pro každý DCT koeficient se spočítá podíl $d_{i,j}/q_{i,j}$, a ten se zaokrouhlí na nejbližší celé
 606 číslo. Při otevírání obrázku se naopak každé z těchto zaokrouhlených čísel vynásobí přísluš-
 607 nou hodnotou $q_{i,j}$, čímž opět získáme DCT koeficient. Tuto fázi komprese můžeme tedy
 608 charakterizovat jako zaokrouhlení každého DCT koeficientu $d_{i,j}$ na nejbližší $q_{i,j}$ -násobek.

609 Jeden způsob, jak zajistit existenci nestranných prvků, je dvakrát opakovaná ztrátová
 610 komprese obrázku JPEG. Začneme tím, že vytvoříme anebo vezmeme existující obrázek
 611 JPEG (předchůdce nosiče). Transformace tohoto předchůdce spočívá v tom, že obrázek
 612 dekomprimujeme a znovu komprimujeme, ale tentokrát v nižší kvalitě. Při této kompri-
 613 maci se můžeme za určitých okolností setkat s poměrně velkým počtem nestranných DCT
 614 koeficientů. Velice dobrých výsledků lze například dosáhnout použitím standardních kvan-
 615 tizačních tabulek s faktory kvality 85 a 70

$$Q^{(85)} = \begin{pmatrix} 5 & 3 & \boxed{3} & 5 & 7 & 12 & 15 & 18 \\ 4 & 4 & 4 & 6 & 8 & 17 & 18 & 17 \\ 4 & 4 & 5 & 7 & 12 & 17 & 21 & 17 \\ 4 & 5 & 7 & 9 & 15 & 26 & 24 & 19 \\ 5 & 7 & 11 & 17 & 20 & 33 & 31 & 23 \\ 7 & 11 & 17 & 19 & 24 & 31 & 34 & 28 \\ 15 & 19 & 23 & 26 & 31 & 36 & 36 & 30 \\ 22 & 28 & 29 & 29 & 34 & 30 & 31 & 30 \end{pmatrix}, \quad Q^{(70)} = \begin{pmatrix} 10 & 7 & \boxed{6} & 10 & 14 & 24 & 31 & 37 \\ 7 & 7 & 8 & 11 & 16 & 35 & 36 & 33 \\ 8 & 8 & 10 & 14 & 24 & 34 & 41 & 34 \\ 8 & 10 & 13 & 17 & 31 & 52 & 48 & 37 \\ 11 & 13 & 22 & 34 & 41 & 65 & 62 & 46 \\ 14 & 21 & 33 & 38 & 49 & 62 & 68 & 55 \\ 29 & 38 & 47 & 52 & 62 & 73 & 72 & 61 \\ 43 & 55 & 57 & 59 & 67 & 60 & 62 & 59 \end{pmatrix}.$$

616 Předchůdce je komprimován s faktorem kvality 85, zatímco nosič a stegoobjekt s fakto-
 617 rem kvality 70. Podívejme se například na zarámované kvantizační koeficienty v obou
 618 tabulkách. Předchůdce nosiče je komprimován tak, že DCT koeficienty na této pozici jsou
 619 zaokrouhlovány na nejbližší celočíselný násobek čísla 3. Při snížení kvality obrázku se DCT
 620 koeficienty na této pozici zaokrouhlují na nejbližší celočíselný násobek čísla 6. To znamená,
 621 že téměř polovina bloků bude mít na této pozici nestranný DCT koeficient, který může být
 622 zaokrouhlen jak nahoru, tak dolů, aniž by vyvolával větší podezření. Na pozicích, kde se
 623 používají větší kvantizační koeficienty, bude nestranných DCT koeficientů výrazně méně
 624 než polovina, protože hodně z nich bude v předchůdci nosiče zaokrouhleno na 0.

625 Dvojice kvantizačních tabulek $Q^{(85)}$ a $Q^{(70)}$ dosahuje dobrých výsledků proto, že se v ní
 626 vyskytuje mnoho pozic, které mají tendenci dávat vzniknout nestranným koeficientům.
 627 Tyto pozice jsou vyznačeny tučně a můžeme si všimnout, že se mezi tabulkami vždy
 628 liší o násobek 2. To ovšem není nutnou podmínkou pro to, aby pozice dávala vzniknout
 629 nestranným koeficientům. Máme-li dvojici kvantizačních matic $Q^{(f_1)}$ a $Q^{(f_2)}$, pak na pozici
 630 (i, j) mohou při dvojitě ztrátové kompresi vznikat nestranné DCT koeficienty právě tehdy,
 631 když existují $a, b \in \mathbb{Z}$ takové, že $aq_{i,j}^{(f_1)} = bq_{i,j}^{(f_2)} + \frac{1}{2}q_{i,j}^{(f_2)}$.

632 Na první pohled se může zdát, že dvojitě komprimované obrázky JPEG budou vyvolá-
 633 vat podezření, ale takové obrázky mohou ve skutečnosti snadno vznikat přirozeně. Běžný
 634 uživatel má fotoaparát, jehož výstupem jsou obrázky JPEG. Obrázek pak může otevřít

635 v editoru a provést na něm některé běžné úpravy jako například odstranění efektu červe-
636 ných očí. Po dobu editace je zpravidla nutné převést obrázek do rastrového formátu a poté
637 znovu uložit do formátu JPEG. Výjimku tvoří úpravy jako rotace obrázku o násobek 90° a
638 souměrnost podle osy x nebo y , které lze provést přímo ve formátu JPEG. Při opětovném
639 ukládání se může stát, že obrázek je uložen v nižší kvalitě než originál, a to buď záměrně,
640 aby se ušetřilo místo, anebo protože grafický editor implicitně ukládá obrázky v kvalitě,
641 která je nižší než kvalita nastavená na fotoaparátu.

642 Při vkládání do takto vytvořených nestranných DCT koeficientů je poměrně obtížné
643 rozeznat stegoobjekty od nosičů, které vznikly prostou dvojitou kompresí. Odhalení ste-
644 goobjektů může být usnadněno ve chvíli, kdy se pro vkládání použijí bloky s více méně
645 uniformní barvou. Nejlepších výsledků tedy dosáhneme, když do množiny suchých prvků
646 zahrneme pouze ty nestranné koeficienty, které leží v nejvíce neuniformních blocích před-
647 chůdce nosiče. Uniformita bloku se zpravidla měří dvěma způsoby:

648 **Textura bloku** Blok DCT koeficientů dekomprimujeme na blok 8×8 hodnot. Tento blok
649 rozdělíme na 16 podbloků velikosti 2×2 . V každém podbloku změříme rozdíl mezi
650 nejmenší a největší hodnotou. Textura bloku je součet všech 16 rozdílů.

651 **Energie bloku** Energie bloku je součet čtverců všech kvantizovaných DCT koeficientů
652 v bloku.

653 Shrňme shora uvedený postup. Máme zprávu délky m a potřebujeme zvolit nějakých $s > m$
654 suchých prvků v nekvantizovaném nosiči. Ty zvolíme tak, že vyhledáme nejméně uniformní
655 blok v předchůdci nosiče, ten rekomprimujeme na nižší kvalitu a přitom získáme blok ne-
656 kvantizovaného nosiče s určitým počtem nestranných DCT koeficientů, které zahrneme
657 do množiny suchých prvků. Tento proces opakujeme na dalších nejméně uniformních blo-
658 cích v předchůdci nosiče tak dlouho, dokud množina suchých prvků nedosáhne požadované
659 velikosti. Zbylé bloky také rekomprimujeme na nižší kvalitu, ale všechny jejich prvky ozna-
660 čujeme jako mokré. Zprávu potom vložíme metodou vkládání při kvantizaci. Tento postup
661 se nazývá *texture-adaptive perturbed quantization* (PQt) nebo *energy-adaptive perturbed*
662 *quantization* (PQe) podle toho, které měřítko uniformity bloku použijeme.

663 **4.1.3. Modifikované maticové kódování.** Modifikované maticové kódování (modified
664 matrix encoding, MME) [7] ve skutečnosti nevyužívá psaní na mokřý papír, ale jedná se
665 o variaci na vkládání při kvantizaci, a proto jej uvádíme zde.

666 Stegosystém MME je podobný stegosystému F5 v tom, že vkládá do nenulových AC ko-
667 eficientů obrázku JPEG a je založen na použití binárního Hammingova kódu. Označme \mathbf{H}
668 paritní matici Hammingova $[n, n-m]_2$ kódu délky $n = 2^m - 1$. K extrakci se používá tentýž
669 algoritmus jako u stegosystému F5 pouze s tím rozdílem, že parita negativních koeficientů
670 se neobrací. Jinými slovy jestliže $\mathbf{y} \in \mathbb{F}_2^n$ je blok nejnižších bitů nenulových kvantizovaných
671 AC koeficientů stegoobrázku, pak blok zprávy získáme jako $\mathbf{z} = \text{Ext}_{\mathbf{H}}(\mathbf{y}) = \mathbf{H}\mathbf{y} \in \mathbb{F}_2^m$.

672 MME vkládání se od F5 vkládání liší ve čtyřech aspektech.

- 673 • Zatímco při F5 vkládání se změny v nosiči provádějí snížením absolutní hodnoty ko-
674 eficientu, při MME vkládání se využívá znalost nekvantizovaného nosiče a případná
675 změna se provede zaokrouhlením na druhé nejbližší nenulové celé číslo.
- 676 • Při MME vkládání nedochází ke smrštění, tj. $1 \mapsto 0$ nebo $-1 \mapsto 0$. Je-li potřeba
677 změnit koeficient s hodnotou 1 nebo -1 na sudou hodnotu, použije se vždy $1 \mapsto 2$ a
678 $-1 \mapsto -2$.

- 679 • Zatímco stegosystém F5 asociuje záporné liché AC koeficienty s hodnotou 0 a zá-
680 porné sudé koeficienty s hodnotou 1, aby se vyvážílo smršťování, stegosystém MME
681 jednoduše asociuje všechny AC koeficienty se zbytkem po dělení 2.
- 682 • Zatímco F5 vkládání provádí nejvýše jednu změnu v každém bloku nosiče, MME
683 vkládání provádí nejvýše d změn v každém bloku nosiče tak, aby se minimalizo-
684 vala celková odchylka stegoobjektu od nezaokrouhleného nosiče. Hovoříme o MME*d*
685 vkládání.

686 Poslední bod rozeberme podrobněji. Označme $\mathbf{x} \in \mathbb{F}_2^n$ blok nejnižších bitů nenulových
687 kvantizovaných AC koeficientů nosiče. Podobně jako v části 4.1.1 přiřadíme každé pozici i
688 číslo ρ_i , které bude tentokrát udávat, o kolik se navýší odchylka od nezaokrouhleného
689 nosiče při změně na pozici i . Označme $\tilde{x}_i \in \mathbb{R}$ hodnotu příslušného nezaokrouhleného
690 prvku a zaokrouhlovací chybu $\delta_i := |[\tilde{x}_i] - \tilde{x}_i|$. Pokud $|\tilde{x}_i| > 1$, pak chyba při zaokrouhlení
691 na druhé nejbližší nenulové celé číslo je $1 - \delta_i$. To znamená, že při změně bitu x_i se odchylka
692 od nezaokrouhleného nosiče navýší o $\rho_i = 1 - 2\delta_i$. Pokud $\tilde{x}_i \in [-1, -\frac{1}{2}] \cup [\frac{1}{2}, 1]$, pak druhé
693 nejbližší celé číslo je -2 nebo 2 a zaokrouhlením na ně vzniká chyba $1 + \delta_i$. To znamená, že
694 při změně bitu x_i se odchylka od nezaokrouhleného nosiče navýší o $\rho_i = 1$. Připomeňme,
695 že $\tilde{x}_i \notin (-\frac{1}{2}, \frac{1}{2})$, jinak by totiž $[\tilde{x}_i] = 0$, ale takové AC koeficienty při vkládání i extrakci
696 přeskakujeme.

697 Jakmile máme spočítány hodnoty ρ_i , zjistíme všechny způsoby, jak nejvýše d změnami
698 vložit zprávu \mathbf{z}

$$\mathcal{E} = \{ \mathbf{e} \in \mathbb{F}_2^n \mid \mathbf{H}\mathbf{e} = \mathbf{z} - \mathbf{H}\mathbf{x}, w(\mathbf{e}) \leq d \}.$$

699 Použijeme ten vektor změn, který minimalizuje odchylku stegoobjektu od nezaokrouhle-
700 něho nosiče

$$\mathbf{y} = \mathbf{x} + \arg \min_{\mathbf{e} \in \mathcal{E}} \sum_{\substack{1 \leq i \leq n \\ e_i = 1}} \rho_i.$$

701 V praxi má smysl použít algoritmus MME2 nebo MME3. Pro $d > 3$ se totiž dosahuje
702 jen zanedbatelně lepších výsledků. Všimněme si, že konstrukce množiny \mathcal{E} se díky povaze
703 binárních Hammingových kódů obejde bez jakékoliv práce s maticemi. Proto má MME2
704 časovou složitost $O(n)$ a MME3 $O(n^2)$.

705 4.2. DALŠÍ APLIKACE PSANÍ NA MOKRÝ PAPÍR

706 4.2.1. **Dvouúrovňové ± 1 vkládání.** S ± 1 vkládáním jsme se již jednou setkali jakožto
707 s efektivní obranou proti kvantitativním útokům na vkládání do nejnižšího bitu. Připo-
708 meňme, že ± 1 vkládání zprávy $\mathbf{z} \in \{0, 1\}^m$ do nosiče $\mathbf{x} \in \mathbb{Z}^n$ funguje podle následujícího
709 pravidla. Jestliže $\text{LSB}(x_i) = z_i$, pak přiřadíme $y_i := x_i$, v opačném případě zvolíme náhodně
710 $a \in \{-1, 1\}$ a přiřadíme $y_i := x_i + a$. Z následující tabulky vidíme, že rozhodnutí přičíst
711 anebo odečíst 1 nám dává plnou kontrolu nad hodnotou druhého nejnižšího bitu. Radši
712 než volit změny a náhodně, můžeme je využít k vložení další zprávy do nosiče pomocí
713 psaní na mokrý papír. Této technice říkáme *dvouúrovňové ± 1 vkládání* [10].

Poslední dvě cifry binárního rozvoje

x_i	$(\dots 00)_2$	$(\dots 01)_2$	$(\dots 10)_2$	$(\dots 11)_2$
$x_i + 1$	$(\dots 01)_2$	$(\dots 10)_2$	$(\dots 11)_2$	$(\dots 00)_2$
$x_i - 1$	$(\dots 11)_2$	$(\dots 00)_2$	$(\dots 01)_2$	$(\dots 10)_2$

715 Nechť \mathbf{H} je paritní matice $[n, n - m_1]_2$ kódu \mathcal{C} s průměrnou vzdáleností r_a a \mathcal{B} je
716 kódová kniha, která umožňuje vkládat m_2 bitů do nosiče délky n bitů, z nichž r_a je
717 suchých. Označme $\mathbf{x}' = (\text{LSB}(x_1), \dots, \text{LSB}(x_n))^T$ vektor nejnižších bitů nosiče \mathbf{x} a \mathbf{x}''

718 vektor druhých nejnižších bitů nosiče. Obdobně značíme také nejnižší a druhé nejnižší
719 bity \mathbf{y}' a \mathbf{y}'' stegoobjektu \mathbf{y} . Zpráva je rozdělena na dvě části $\mathbf{z}' \in \mathbb{F}_2^{m_1}$ a $\mathbf{z}'' \in \mathbb{F}_2^{m_2}$.
720 Dvouúrovňovou extrakci lze vyjádřit jednoduše jako $\mathbf{z}' = \text{Ext}_{\mathbf{H}}(\mathbf{y}')$ a $\mathbf{z}'' = \text{Ext}_{\mathcal{B}}(\mathbf{y}'')$.

721 Dvouúrovňové ± 1 vkládání má dvě fáze. V první fázi zjistíme jaké změny bude třeba
722 provést na nejnižších bitech nosiče, čili spočteme $\mathbf{y}' = \text{Emb}_{\mathbf{H}}(\mathbf{x}', \mathbf{z}')$. Na pozicích, kde se
723 budou provádět změny jsme navíc schopni ovlivnit druhý nejnižší bit. Tyto pozice tedy
724 označíme jako suché $\mathcal{S} = \{i \mid x'_i \neq y'_i\}$. V druhé fázi použijeme metodu psaní na mokrý
725 papír a spočteme $\mathbf{y}'' = \text{Emb}_{\mathcal{B}}(\mathbf{x}'', \mathcal{S}, \mathbf{z}'')$. Stegoobjekt \mathbf{y} se vytvoří z nosiče \mathbf{x} změnami $+1$
726 nebo -1 tak, aby \mathbf{y}' byly nejnižší bity a \mathbf{y}'' druhé nejnižší bity stegoobjektu. Očekávaný
727 počet těchto změn je r_a a tedy také očekávaná velikost množiny \mathcal{S} je r_a .

Označíme-li e efektivitu kódu \mathcal{C} , pak $r_a = m_1/e$. Podle věty o mokrém nosiči je $m_2 \approx |\mathcal{S}| \approx r_a$. Relativní kapacita a efektivita dvouúrovňového ± 1 vkládání je tedy

$$\alpha_{\pm 1} = \frac{m_1 + m_2}{n} \approx \frac{m_1 + m_1/e}{n} = \alpha + \frac{\alpha}{e}, \quad (4.1)$$

$$e_{\pm 1} = \frac{m_1 + m_2}{r_a} \approx \frac{m_1 + m_1/e}{m_1/e} = e + 1. \quad (4.2)$$

728 Zároveň si můžeme všimnout, že

$$\frac{\alpha}{e} = \frac{r_a}{n} = \frac{\alpha_{\pm 1}}{e_{\pm 1}}. \quad (4.3)$$

729 Vkládání se změnami ± 1 si spojujeme s vkládáním pomocí ternárních kódů. Jak uka-
730 zuje následující tvrzení, z hlediska efektivity dosahuje dvouúrovňové vkládání stejně dob-
731 rých výsledků jako ternární vkládání. Oproti ternárním kódům má dvouúrovňové ± 1 vklá-
732 dání jednu výhodu. Při použití ternárních kódů je totiž nutné převádět mezi ternární
733 reprezentací zpráv a obvyklou binární reprezentací, což zde odpadá.

734 **Tvrzení 4.2.** *Nechť \mathcal{C} je binární kód, jehož efektivita dosahuje horní meze na spodní*
735 *efektivitu binárních kódů. Potom dvouúrovňovým ± 1 vkládáním s kódem \mathcal{C} lze dosáhnout*
736 *efektivity libovolně blízké horní mezi na spodní efektivitu ternárních kódů, za předpokladu,*
737 *že kód \mathcal{C} je dostatečně dlouhý.*

738 *Důkaz.* Dle předpokladu je $e = \alpha/H_2^{-1}(\alpha)$, čili $\alpha = H_2(\alpha/e)$. Toto dosadíme do rov-
739 nice (4.1), upravíme podle definice entropické funkce a použijeme (4.3)

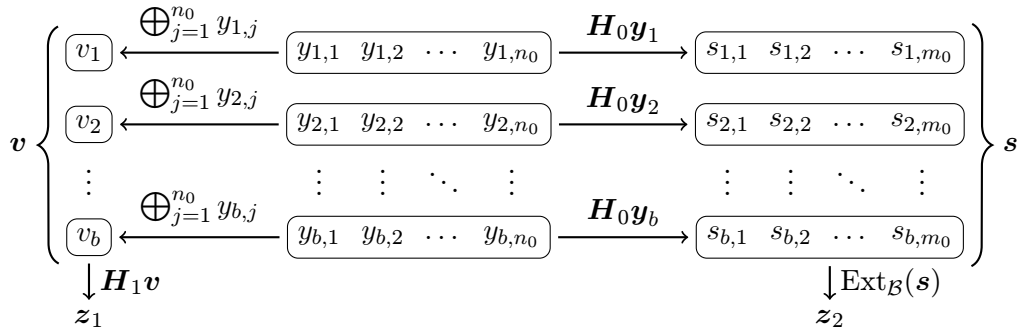
$$\alpha_{\pm 1} \approx H_2(\alpha/e) + \alpha/e = (\log_2 3)H_3(\alpha/e) = (\log_2 3)H_3(\alpha_{\pm 1}/e_{\pm 1}).$$

740 Odtud vyjádříme $e_{\pm 1} \approx \alpha_{\pm 1}/H_3^{-1}(\alpha_{\pm 1}/\log_2 3)$, což jsme měli dokázat. \square

741 **4.2.2. Stegosystém ZZW.** Začněme tím, že popíšeme algoritmus extrakce pro stegosys-
742 tém ZZW [11]. Stegoobjekt je rozdělen na b bloků velikosti $n_0 = 2^{m_0}$. Posloupnost hodnot
743 spjatých s i -tým blokem stegoobjektu značíme $\mathbf{y}_i = (y_{i,1}, \dots, y_{i,n_0})^T \in \mathbb{F}_2^{n_0}$. Extrakce
744 vložené zprávy je znázorněna na obrázku 4.1.

745 Stegosystém pracuje s maticemi \mathbf{H}_0 a \mathbf{H}_1 a s kódovou knihou \mathcal{B} .

- 746 • Matice \mathbf{H}_0 vzniká z paritní matice Hammingova $[2^{m_0} - 1, 2^{m_0} - 1 - m_0]_2$ kódu
747 přidáním nulového sloupce.
- 748 • Matice \mathbf{H}_1 je paritní matice nějakého $[b, b - m_1]_2$ kódu \mathcal{C} s průměrnou vzdáleností
749 od kódu r_a .



OBRÁZEK 4.1: ZZW extrakce

750 • Kódová kniha \mathcal{B} umožňuje vkládat m_2 bitů do nosiče délky bm_0 bitů, z nichž $r_a m_0$
751 je suchých.

752 Zpráva je rozdělena na dvě části $z_1 \in \mathbb{F}_2^{m_1}$ a $z_2 \in \mathbb{F}_2^{m_2}$. První část zprávy získáme tak, že
753 pro každé $i = 1, \dots, b$ spočteme $v_i = \bigoplus_{j=1}^{n_0} y_{i,j}$ a potom $z_1 = \mathbf{H}_1(v_1, \dots, v_b)^T$. Druhou
754 část zprávy získáme tak, že pro každé $i = 1, \dots, b$ spočteme $s_i = \mathbf{H}_0 \mathbf{y}_i$, všechna s_1, \dots, s_b
755 sřetězíme do jediného vektoru s délky bm_0 a potom $z_2 = \text{Ext}_B(s)$.

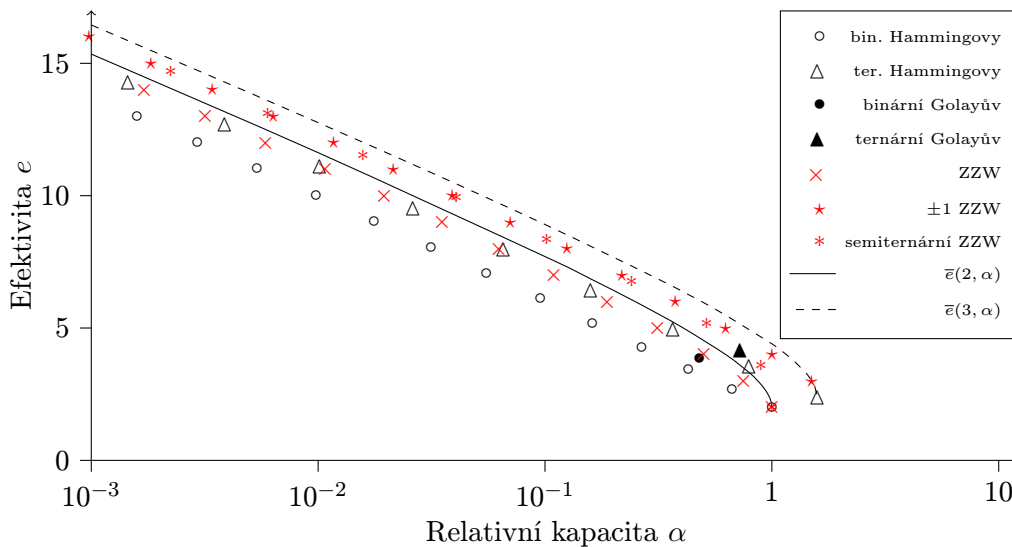
756 Nyní ukážeme, jak se takovýto stegoobjekt vytvoří. Vkládání dvojice zpráv $z_1 \in \mathbb{F}_2^{m_1}$
757 a $z_2 \in \mathbb{F}_2^{m_2}$ do nosiče délky $b2^{m_0}$ začneme tím, že nosič rozdělíme na b bloků velikosti $n_0 =$
758 2^{m_0} . Posloupnost hodnot spjatých s i -tým blokem nosiče značíme $\mathbf{x}_i = (x_{i,1}, \dots, x_{i,n_0})^T \in$
759 $\mathbb{F}_2^{n_0}$. Obdobně jako při extrakci spočteme vektor $\mathbf{u} \in \mathbb{F}_2^b$ tak, že $u_i = \bigoplus_{j=1}^{n_0} x_{i,j}$ pro
760 každé $i = 1, \dots, b$. Do tohoto vektoru vložíme první část zprávy, čímž dostaneme $\mathbf{v} =$
761 $\text{Emb}_{\mathbf{H}_1}(\mathbf{u}, z_1)$. Tímto jsme získali návod na to, jak provést změny v nosiči. Jestliže $u_i = v_i$,
762 pak položíme $\mathbf{y}_i = \mathbf{x}_i$. Jestliže $u_i \neq v_i$, pak vektor \mathbf{y}_i získáme tak, že v \mathbf{x}_i provedeme
763 právě jednu změnu. Očekávaný počet změn vyvolaných vkládáním je tedy roven průměrné
764 vzdálenosti r_a od kódu \mathcal{C} . Máme-li provést jednu změnu ve vektoru \mathbf{x}_i , můžeme tak učinit
765 na libovolné pozici. Tato volnost je to, co nám dává prostor pro zakódování další zprávy z_2 .

766 Jak víme, Hammingovy kódy umožňují vkládat informace provedením *nejvýše* jedné
767 změny v bloku nosiče. Matice \mathbf{H}_0 vznikla z paritní matice Hammingova kódu přidáním
768 jednoho nulového sloupce. Taková matice má potom vlastnost, že hodnotu syndromu $\mathbf{H}_0 \mathbf{x}_i$
769 lze upravit na libovolnou hodnotu provedením *právě* jedné změny ve vektoru \mathbf{x}_i . To zna-
770 mená, že když $u_i \neq v_i$, tak ve chvíli, kdy ve vektoru \mathbf{x}_i volíme pozici, na které provedeme
771 změnu, máme plnou kontrolu nad hodnotou syndromu $\mathbf{H}_0 \mathbf{y}_i$. Naopak když $u_i = v_i$, tak
772 nemáme žádnou kontrolu nad $\mathbf{H}_0 \mathbf{y}_i = \mathbf{H}_0 \mathbf{x}_i$. Pro každé $i = 1, \dots, b$ spočteme $\mathbf{r}_i = \mathbf{H}_0 \mathbf{x}_i$.
773 Když $u_i = v_i$, tak označíme složky vektoru \mathbf{r}_i jako mokré, v opačném případě jako su-
774 ché. Všechna $\mathbf{r}_1, \dots, \mathbf{r}_b$ sřetězíme do jediného vektoru \mathbf{r} . Vektor \mathbf{r} je nyní mokrý nosič
775 délky bm_0 a očekávaný počet suchých prvků je $r_a m_0$. Podle věty o mokrém nosiči lze do
776 takového nosiče vložit téměř $r_a m_0$ bitů informace.

777 Stegosystém ZZW je tedy schopen vložit téměř $m_1 + r_a m_0$ bitů do nosiče délky $b2^{m_0}$
778 provedením r_a změn. Proto máme relativní kapacitu a efektivitu

$$\alpha \approx \frac{m_1 + r_a m_0}{b2^{m_0}} \quad \text{a} \quad e \approx \frac{m_1 + r_a m_0}{r_a}.$$

779 Podívejme se na nejjednodušší případ, kdy za \mathcal{C} zvolíme triviální $[b, 0]_2$ kód, tj. \mathbf{H}_1 je
780 identická matice řádu b . Potom $z_1 = \mathbf{v}$, $m_1 = b$ a $r_a = \frac{1}{2}b$. Čili máme $\alpha \approx 2^{-m_0}(1 + \frac{1}{2}m_0)$
781 a $e \approx 2 + m_0$ bez ohledu na počet bloků b . Na obrázku 4.2 máme graf efektivitu ZZW



OBRÁZEK 4.2: Efektivita ZZW vkládání v závislosti na relativní kapacitě ve srovnání s perfektními kódy a s horní mezí na spodní efektivitu pro $q = 2$ a 3 .

782 vkládání v závislosti na relativní kapacitě ve srovnání s perfektními kódy a s horní mezí na
783 spodní efektivitu pro $q = 2$ a 3 . Odstup ZZW vkládání od horní meze na spodní efektivitu
784 binárních kódů je méně než $0,6$.

785 Efektivitu vkládání můžeme ještě vylepšit tím, že navíc aplikujeme dvouúrovňové ± 1
786 vkládání. Odstup ± 1 ZZW vkládání od horní meze na spodní efektivitu ternárních kódů
787 je také méně než $0,6$.

788 Na závěr poukážeme na několik zobecnění tohoto schématu. Především si můžeme
789 všimnout, že \mathbf{u} funguje jako zcela samostatný nosič. Vkládání do tohoto vektoru tedy
790 nemusí být prováděno najednou jediným kódem \mathcal{C} , ale vektor \mathbf{u} lze rozdělit na bloky
791 menší délky a do těch vkládat zprávu \mathbf{z}_1 po částech. Dále si všimněme, že (upravená)
792 matice Hammingova kódu \mathbf{H}_0 nemusí být pro každý blok stejná. Délku Hammingova
793 kódu můžeme pro každý blok volit libovolně.

794 **Cvičení 4.3.** Vymyslete „semiternární“ variaci ZZW stegosystému, kde se namísto bi-
795 nárních Hammingových kódů použijí ternární Hammingovy kódy, avšak kód \mathcal{C} zůstává
796 binární. Ukažte, že relativní kapacita a efektivita takového schématu je

$$\alpha \approx \frac{2(m_1 + r_a m_0 \log_2 3)}{b(3^{m_0} + 1)} \quad \text{a} \quad e \approx \frac{m_1 + r_a m_0 \log_2 3}{r_a}.$$

797 **Cvičení 4.4.** Vymyslete ternární variaci ZZW stegosystému, kde všechny použité kódy
798 jsou ternární. Relativní kapacita a efektivita takového schématu by měla vyjít

$$\alpha \approx \frac{(m_1 + r_a m_0) \log_2 3}{b3^{m_0}} \quad \text{a} \quad e \approx \frac{(m_1 + r_a m_0) \log_2 3}{r_a}.$$

799

4.3. PSANÍ NA MOKRÝ PAPIR POMOCÍ MATIC

800 Stejně jako v kapitole 2 budeme značit $\mathbf{x}, \mathbf{y} \in \mathbb{F}_q^n$ posloupnost hodnot spjatých s blokem
801 nosiče a s blokem stegoobjektu a $\mathbf{z} \in \mathbb{F}_q^m$ budeme značit zprávu vkládanou do daného
802 bloku. Paritní matici samoopravného kódu typu $m \times n$ nad \mathbb{F}_q značíme jako obvykle \mathbf{H} .

803 Pro každý blok máme nyní navíc množinu indexů suchých složek, kterou značíme \mathcal{S} , a
 804 množinu indexů mokřých složek $\mathcal{M} = \{1, \dots, n\} \setminus \mathcal{S}$. Počet suchých prvků budeme značit
 805 $s := |\mathcal{S}|$. Pro každý vektor $\mathbf{x} \in \mathbb{F}_q^n$ definujeme vektor $\mathbf{x}_{\mathcal{S}} \in \mathbb{F}_q^s$, který vznikne zúžením
 806 vektoru \mathbf{x} na složky indexované množinou \mathcal{S} . Podobně $\mathbf{H}_{\mathcal{S}}$ značíme podmatici matice \mathbf{H} ,
 807 která vznikne zúžením matice \mathbf{H} na sloupce indexované množinou \mathcal{S} .

808 Extrakce zprávy \mathbf{z} ze stegoobjektu \mathbf{y} je shodná s definicí v kapitole 2, tj. $\mathbf{z} = \mathbf{H}\mathbf{y}$.

809 **Algoritmus 4.5** (maticové vkládání do mokřého nosiče).

vstup: nosič $\mathbf{x} \in \mathbb{F}_q^n$, zpráva $\mathbf{z} \in \mathbb{F}_q^m$, paritní matice $\mathbf{H} [n, n - m]_q$ kódu \mathcal{C} ,
 810 množina mokřých indexů \mathcal{M}

výstup: stegoobjekt $\mathbf{y} \in \mathbb{F}_q^n$ takový, že $\mathbf{H}\mathbf{y} = \mathbf{z}$ a $\mathbf{y}_{\mathcal{M}} = \mathbf{x}_{\mathcal{M}}$

```

1   $\mathcal{S} := \{1, \dots, n\} \setminus \mathcal{M}$ 
2   $\mathbf{y}_{\mathcal{M}} := \mathbf{x}_{\mathcal{M}}$ 
3   $\mathbf{b} := \mathbf{z} - \mathbf{H}_{\mathcal{M}}\mathbf{x}_{\mathcal{M}}$ 
4  if  $(\mathbf{H}_{\mathcal{S}} \mid \mathbf{b})$  má řešení then
811   5     za  $\mathbf{y}_{\mathcal{S}}$  zvol libovolné řešení soustavy  $(\mathbf{H}_{\mathcal{S}} \mid \mathbf{b})$ 
6     return  $\mathbf{y}$ 
7  else
8     return fail
```

812 *Důkaz.* $\mathbf{H}\mathbf{y} = \mathbf{H}_{\mathcal{S}}\mathbf{y}_{\mathcal{S}} + \mathbf{H}_{\mathcal{M}}\mathbf{y}_{\mathcal{M}} = \mathbf{b} + \mathbf{H}_{\mathcal{M}}\mathbf{x}_{\mathcal{M}} = \mathbf{z}$. □

813 Nyní stojíme před problémem, jakým způsobem vybrat paritní matici \mathbf{H} , aby sou-
 814 stava $(\mathbf{H}_{\mathcal{S}} \mid \mathbf{b})$ měla řešení a aby toto řešení bylo možné efektivně spočítat. Aby soustava
 815 $(\mathbf{H}_{\mathcal{S}} \mid \mathbf{b})$ byla řešitelná pro každou pravou stranu, musí být hodnota matice $\mathbf{H}_{\mathcal{S}}$ rovna m .
 816 Jinými slovy, její řádky musejí být lineárně nezávislé. Nutnou podmínkou je tedy, aby
 817 $s \geq m$. Zdaleka nejlepší by bylo, kdyby matice \mathbf{H} měla vlastnost, že každá její podma-
 818 tice $\mathbf{H}_{\mathcal{S}}$, kde $s \geq m$, má hodnotu m . Tuto vlastnost lze také formulovat tak, že každých
 819 m sloupců matice \mathbf{H} tvoří lineárně nezávislou množinu. Kódy, jejichž paritní matice mají
 820 tuto vlastnost, známe pod názvem *MDS kódy*. Bohužel pro $q = 2$ existují jen triviální MDS
 821 kódy s parametry $[n, 1]_2$, $[n, n]_2$ nebo $[n, n - 1]_2$. Z netriviálních MDS kódů známe napří-
 822 klad zobecněné Reed-Solomonovy kódy, ale jejich nevýhodou je, že délka těchto kódů je
 823 omezena velikostí tělesa. Velikost tělesa bychom však chtěli udržovat minimální, abychom
 824 minimalizovali velikost změn v nosiči. Naproti tomu délku kódu bychom chtěli spíše velkou,
 825 jak plyne z následující úvahy.

826 Mějme pevně zvolený nosič a označme σ pravděpodobnost, že náhodně zvolený prvek
 827 nosiče je suchý. Relativní počet symbolů vkládané zprávy označme $\mu = m/n$. V předchozím
 828 odstavci jsme shledali, že aby algoritmus mohl fungovat, musíme volit μ menší než σ ,
 829 což ostatně vyžaduje i věta o mokřém nosiči. Když rozdělíme nosič na velké bloky, pak
 830 podle zákona velkých čísel bude počet suchých složek v bloku relativně blízko očekávané
 831 hodnotě σn a můžeme očekávat, že bude větší než $\mu n = m$. Naproti tomu při rozdělení
 832 nosiče na malé bloky stoupá hrozba, že do některého z bloků padne nedostatečný počet
 833 suchých složek a algoritmus selže.

834 Jednou možností jak získat matici \mathbf{H} typu $\mu n \times n$ je sestrojít ji náhodně. Potom
 835 pravděpodobnost, že její libovolná podmatice typu $\mu n \times \sigma n$ má lineárně nezávislé řádky,
 836 se s rostoucím n blíží jedné, za předpokladu, že $\mu < \sigma$.

837 **Lemma 4.6.** *Nechť m a n jsou přirozená čísla taková, že $m \leq n$. Potom pravděpodobnost,*
 838 *že náhodně zvolená matice typu $m \times n$ nad tělesem \mathbb{F}_q má lineárně nezávislé řádky, je rovna*

$$\prod_{i=0}^{m-1} (1 - q^{i-n}).$$

839 *Důkaz.* Počet matic typu $m \times n$ nad \mathbb{F}_q s lineárně nezávislými řádky lze určit tak, že
 840 popíšeme jakým způsobem bychom je všechny sestrojili. Na první řádek můžeme zvolit
 841 kterýkoliv nenulový vektor, tj. máme $q^n - 1$ možností. Na $(i + 1)$ -ní řádek můžeme zvolit
 842 kterýkoliv vektor s výjimkou vektorů, které lze vyjádřit jako lineární kombinaci prvních
 843 i řádků, tj. máme $q^n - q^i$ možností. Celkem tedy máme $\prod_{i=0}^{m-1} (q^n - q^i)$ matic s lineárně
 844 nezávislými řádky. \square

845 **Lemma 4.7.** *Nechť $x \in [0, 1]$ a $m \geq 1$, pak $(1 - x)^m \geq 1 - mx$.*

846 *Důkaz.* Jestliže $mx \geq 1$, pak nerovnost zřejmě platí. Dále se tedy věnujme případu $mx < 1$.
 847 Funkce $f_m(x) = m \ln(1 - x) - \ln(1 - mx)$ má derivaci $f'_m(x) = -\frac{m}{1-x} + \frac{m}{1-mx}$ a ta je na
 848 intervalu $[0, 1/m)$ nezáporná. Funkce $f_m(x)$ je tedy neklesající na intervalu $[0, 1/m)$ a dále
 849 vidíme, že je na tomto intervalu spojitá a $f_m(0) = 0$. Odtud plyne, že $m \ln(1 - x) - \ln(1 -$
 850 $mx) \geq 0$ na $[1, 1/m)$. \square

851 **Tvrzení 4.8.** *Nechť $\mu, \delta, \sigma \in (0, 1]$ a $\mu < \sigma$. Potom pravděpodobnost, že náhodně zvolená
 852 matice typu $\lfloor \mu n \rfloor \times \lceil \sigma n \rceil$ nad tělesem \mathbb{F}_q má lineárně nezávislé řádky, je pro všechny
 853 dostatečně velké hodnoty n alespoň $1 - \delta$.*

854 *Důkaz.* Označme $m = \lfloor \mu n \rfloor$ a $s = \lceil \sigma n \rceil$. Pravděpodobnost, že náhodně zvolená matice
 855 typu $m \times s$ nad tělesem \mathbb{F}_q má lineárně nezávislé řádky, je

$$\prod_{i=0}^{m-1} (1 - q^{i-s}) > (1 - q^{m-s})^n \geq 1 - n q^{m-s} \geq 1 - n q^{(\mu-\sigma)n}.$$

856 \square

857 Bloky velké délky obecně činí z vkládání velice náročný problém. Časová složitost řešení
 858 soustavy rovnic pomocí Gaussovy eliminace je totiž kubická v délce bloku (pro pevné μ
 859 a σ). Pro efektivní řešení soustavy budeme muset zajistit, aby soustava měla nějaký vhodný
 860 tvar. Dobrá by byla například soustava v odstupňovaném tvaru, kterou bychom mohli
 861 vyřešit zpětnou substitucí v kvadratickém čase. Ještě lepší by byla soustava, jejíž řádky
 862 by byly nejenom odstupňované, ale navíc řídké, tj. až na pár složek nulové. Takovou
 863 soustavu vyřešíme v lineárním čase. Vzhledem k tomu, že soustava, kterou máme řešit
 864 vzniká v podstatě náhodným výběrem sloupců matice \mathbf{H} , můžeme zajistit její řídkost, ale
 865 není možné zajistit, aby byla vždy v odstupňovaném tvaru. Převod do odstupňovaného
 866 tvaru lze ovšem obstarat i jinak, než pomocí Gaussovy eliminace. V případě řídkých matic
 867 se to může podařit i pouhými permutacemi řádků a sloupců. Následující příklad ukazuje,
 868 jak na to.

869 **Příklad 4.9.** Pro jednoduchost předvedeme vkládání s pomocí paritní matice Hammin-
 870 gova $[7, 4]_2$ kódu. Uvažujme blok nosiče se třemi mokřými prvky (podtržené) 13, 12, 16, 17,
 871 16, 15, 14 a zprávu $\mathbf{z} = (1, 0, 1)^T$. Blok nosiče převedeme na vektor $\mathbf{x} = (\underline{1}, 0, 0, 1, 0, \underline{1}, 0)^T$.
 872 Máme tedy $\mathcal{S} = \{3, 4, 5, 7\}$, $\mathcal{M} = \{1, 2, 6\}$ a

$$\mathbf{H} = \begin{pmatrix} 0 & 0 & 0 & 1 & 1 & 1 & 1 \\ 0 & 1 & 1 & 0 & 0 & 1 & 1 \\ 1 & 0 & 1 & 0 & 1 & 0 & 1 \end{pmatrix}, \quad \mathbf{H}_{\mathcal{S}} = \begin{pmatrix} 0 & 1 & 1 & 1 \\ 1 & 0 & 0 & 1 \\ 1 & 0 & 1 & 1 \end{pmatrix}, \quad \mathbf{H}_{\mathcal{M}} = \begin{pmatrix} 0 & 0 & 1 \\ 0 & 1 & 1 \\ 1 & 0 & 0 \end{pmatrix}.$$

873 Dále máme $\mathbf{x}_{\mathcal{S}} = (0, 1, 0, 0)^T$ a $\mathbf{x}_{\mathcal{M}} = (1, 0, 1)^T$. Spočteme $\mathbf{b} = \mathbf{z} - \mathbf{H}_{\mathcal{M}} \mathbf{x}_{\mathcal{M}} = (0, 1, 0)^T$ a
 874 najdeme řešení $\mathbf{y}_{\mathcal{S}}$ soustavy

875

$$(\mathbf{H}_S | \mathbf{b}) = \left(\begin{array}{cccc|c} & y_3 & y_4 & y_5 & y_7 & \\ 0 & 1 & 1 & 1 & & 0 \\ 1 & 0 & 0 & 1 & & 1 \\ 1 & 0 & 1 & 1 & & 0 \end{array} \right).$$

876 Nejdříve najdeme sloupec, který obsahuje jen jednu jedničku, a vyměníme ho s prvním
877 sloupcem.

878

$$\left(\begin{array}{cccc|c} & y_4 & y_3 & y_5 & y_7 & \\ 1 & 0 & 1 & 1 & & 0 \\ 0 & 1 & 0 & 1 & & 1 \\ 0 & 1 & 1 & 1 & & 0 \end{array} \right)$$

879 V dalším kroku najdeme sloupec, který obsahuje jen jednu jedničku v posledních dvou
880 složkách, a vyměníme ho s druhým sloupcem. Potom přeuspořádáme řádky tak, aby jed-
881 nička padla na diagonálu.

882

$$\left(\begin{array}{cccc|c} & y_4 & y_5 & y_3 & y_7 & \\ 1 & 1 & 0 & 1 & & 0 \\ 0 & 0 & 1 & 1 & & 1 \\ 0 & 1 & 1 & 1 & & 0 \end{array} \right) \rightarrow \left(\begin{array}{cccc|c} & y_4 & y_5 & y_3 & y_7 & \\ 1 & 1 & 0 & 1 & & 0 \\ 0 & 1 & 1 & 1 & & 0 \\ 0 & 0 & 1 & 1 & & 1 \end{array} \right)$$

883 Tím už máme soustavu v odstupňovaném tvaru. Hodnotu y_7 můžeme zvolit libovolně.
884 Abychom minimalizovali počet změn, vezmeme $y_7 = x_7 = 0$. Zpětnou substitucí dořešíme
885 soustavu: $y_3 = 1$, $y_5 = 1$ a $y_4 = 1$. Máme tedy $\mathbf{y} = (1, 0, \mathbf{1}, 1, \mathbf{1}, 1, 0)^T$ a blok stegoobjektu
886 13, 12, **17**, 17, **17**, 15, 14.

887 Snadno nahlédneme, že kdyby množina indexů mokrých složek byla $\mathcal{M} = \{1, 2, 4\}$, pak
888 už by soustava nebyla řešitelná pomocí řádkových a sloupcových permutací.

889 Matici \mathbf{H}_S obecně převádíme do odstupňovaného tvaru tak, že v levém horním rohu
890 postupně vytváříme horní trojúhelníkovou matici s jedničkami na diagonále. V k -tém
891 kroku najdeme sloupec, který ve své spodní části obsahuje pouze jednu jedničku. Tuto
892 jedničku pak přemístíme na diagonálu permutacemi řádků a sloupců.

893

$$\left(\begin{array}{cccc|cccc} & 1 & \dots & k-1 & k & & j & \\ 1 & * & * & & * & * & * & * \\ 0 & 1 & * & & * & * & * & * \\ 0 & 0 & 1 & & * & * & * & * \\ k & 0 & 0 & 0 & * & * & 0 & * \\ i & 0 & 0 & 0 & * & * & \mathbf{1} & * \\ 0 & 0 & 0 & & * & * & 0 & * \end{array} \right) \rightarrow \left(\begin{array}{cccc|cccc} & 1 & \dots & k-1 & j & & k & \\ 1 & * & * & * & * & * & * & * \\ 0 & 1 & * & * & * & * & * & * \\ 0 & 0 & 1 & * & * & * & * & * \\ 0 & 0 & 0 & \mathbf{1} & * & * & * & * \\ k & 0 & 0 & 0 & 0 & * & * & * \\ 0 & 0 & 0 & 0 & * & * & * & * \end{array} \right)$$

894 **Algoritmus 4.10** (řešení soustavy permutacemi řádků a sloupců).

895 **vstup:** soustava $(\mathbf{A} | \mathbf{b})$, kde \mathbf{A} je typu $m \times s$ nad \mathbb{F}_q , vektor $\mathbf{u} \in \mathbb{F}_q^s$

896 **výstup:** řešení soustavy, které se na alespoň $s - m$ pozicích shoduje s \mathbf{u}

```

1   $\pi := \text{id} \in S_s$ 
2  for  $k = 1, \dots, m$  do
3      v matici  $\mathbf{A}$  najdi  $j$ -tý sloupec takový, že  $w(a_{k,j}, \dots, a_{m,j}) = 1$ 
4      if  $j$  neexistuje then
5          return fail
6      buď  $i \geq k$  takové, že  $a_{i,j} \neq 0$ 
7      swap( $\mathbf{A}_{i*}, \mathbf{A}_{k*}$ )
8      swap( $b_i, b_k$ )
9      swap( $\mathbf{A}_{*j}, \mathbf{A}_{*k}$ )

```

```

10      $\pi := \pi \circ (j, k)$ 
11   for  $k = m, \dots, 1$  do
12      $u_{\pi(k)} := a_{kk}^{-1}(b_k - \sum_{i=k+1}^s a_{ki} u_{\pi(i)})$ 
13   return  $\mathbf{u}$ 

```

897 **Definice.** Necht m je přirozené číslo, $\delta > 0$ a $c > 0$. Označme $R = c \cdot \ln(m/\delta)\sqrt{m}$,

$$\rho(i) = \begin{cases} \frac{1}{m} & \text{pro } i = 1, \\ \frac{1}{i(i-1)} & \text{pro } i = 2, \dots, m, \\ 0 & \text{pro } i > m, \end{cases} \quad \text{a} \quad \tau(i) = \begin{cases} \frac{R}{m} \frac{1}{i} & \text{pro } i = 1, \dots, m/R - 1, \\ \frac{R}{m} \ln(R/\delta) & \text{pro } i = m/R, \\ 0 & \text{pro } i > m/R. \end{cases}$$

898 Řekneme, že diskrétní náhodná veličina X má *robustní solitonové rozdělení* s parametry
899 (m, δ, c) , jestliže

$$\Pr[X = i] = \frac{\rho(i) + \tau(i)}{\sum_{j=1}^m \rho(j) + \tau(j)}.$$

900 Předchozí definice byla poprvé představena v článku [9], který pojednává o tzv. LT kó-
901 dech. Tyto samoopravné kódy jsou určené pro binární výmazový kanál a lze je popsat tak,
902 že Hammingovy váhy sloupců jejich generující matice mají robustní solitonové rozdělení.
903 Z uvedeného článku plyne následující věta.

904 **Věta 4.11.** *Máme-li soustavu rovnic nad tělesem \mathbb{F}_q s alespoň $s \approx m + c\sqrt{m}(\ln(m/\delta))^2$
905 sloupci takovými, že jejich Hammingovy váhy mají robustní solitonové rozdělení s para-
906 metry (m, δ, c) , pak pravděpodobnost selhání algoritmu 4.10 je nejvýše δ .*

907 Předchozí věta nám dává návod na sestavení matice \mathbf{H} . Zvolíme velikost bloku n ,
908 horní mez δ na pravděpodobnost selhání algoritmu a parametr c , který je vhodné volit
909 řádově okolo 10^{-1} . V závislosti na aplikaci máme obvykle dán buď relativní počet suchých
910 prvků v nosiči σ , nebo relativní délku zprávy μ , a podle věty 4.11 určíme druhý z nich
911 tak, aby

$$\sigma > \mu + c \frac{\sqrt{\mu n}}{n} \left(\ln \frac{\mu n}{\delta} \right)^2. \quad (4.4)$$

912 Matici \mathbf{H} typu $\mu n \times n$ nad tělesem \mathbb{F}_q sestojíme náhodně tak, aby Hammingovy váhy
913 jejích sloupců měly robustní solitonové rozdělení s parametry $(\mu n, \delta, c)$. Při vkládání se ze
914 sloupců této matice vybere podmatice \mathbf{H}_S velikosti $\mu n \times \sigma n$. Hammingovy váhy sloupců
915 matice \mathbf{H}_S mají totéž rozdělení jako Hammingovy váhy sloupců matice \mathbf{H} .

916 Z rovnice (4.4) zároveň vidíme, že pro pevně zvolené σ , δ a c se odstup μ od σ s ros-
917 toucím n blíží nule, což je další důkaz věty o mokrému nosiči.

918 **Tvrzení 4.12.** *Jestliže Hammingovy váhy sloupců matice \mathbf{H} typu $m \times n$ mají robustní
919 solitonové rozdělení s parametry (m, δ, c) , pak časová složitost maticového vkládání do
920 mokrého nosiče je $O(n \log(m/\delta))$.*

921 *Důkaz.* Začneme tím, že spočítáme horní odhad na očekávanou Hammingovu váhu libo-
922 volného sloupce matice \mathbf{H} . Především si všimněme, že

$$\sum_{i=1}^{\infty} \rho(i) = \frac{1}{m} + \sum_{i=2}^m \frac{1}{i(i-1)} = \frac{1}{m} + \sum_{i=2}^m \frac{1}{i-1} - \frac{1}{i} = 1.$$

Očekávaná hodnota náhodné veličiny s robustním solitonovým rozdělením je

$$\begin{aligned} \sum_{i=1}^{\infty} i \cdot \frac{\rho(i) + \tau(i)}{\sum_{j=1}^m \rho(j) + \tau(j)} &\leq \sum_{i=1}^{\infty} i(\rho(i) + \tau(i)) = \frac{1}{m} + \sum_{i=2}^m \frac{1}{i-1} + \sum_{i=1}^{m/R-1} \frac{R}{m} + \ln \frac{R}{\delta} \\ &\leq \ln(m) + 1 + 1 + \ln \frac{c \cdot \ln(m/\delta) \sqrt{m}}{\delta} = O\left(\log \frac{m}{\delta}\right) \end{aligned}$$

923 V předposledním kroku jsme využili odhadu $\sum_{i=1}^m 1/i \leq \log(m) + 1$.

924 Předpokládejme, že matice \mathbf{H} je uložena po řádcích v řídké reprezentaci. Očekávaná
925 váha řádku matice \mathbf{H}_S je $O\left(\frac{s}{m} \log \frac{m}{\delta}\right)$.

926 Složitost algoritmu 4.5 spočívá ve výpočtu vektoru $\mathbf{b} = \mathbf{z} - \mathbf{H}_{\mathcal{M}} \mathbf{x}_{\mathcal{M}}$, sestavení matice
927 \mathbf{H}_S a řešení soustavy $(\mathbf{H}_S | \mathbf{b})$. Výpočet \mathbf{b} a sestavení \mathbf{H}_S lze provést současně a vyžaduje
928 jeden průchod všech prvků matice \mathbf{H} . Počet nenulových prvků v \mathbf{H} je celkem $O(n \log \frac{m}{\delta})$.
929 Zbývá určit složitost algoritmu 4.10.

930 Nejdříve spočítáme složitost jednoho průchodu cyklem, který začíná na řádce 2. Cyklus
931 začíná nalezením sloupce, jehož spodní část má váhu 1. Počet nenulových hodnot ve spodní
932 části sloupce nemusíme počítat při každém průchodu cyklem, ale stačí mít tyto údaje
933 uložené a při každém přesunu řádku do horní části matice je pouze aktualizovat. Nalezení
934 sloupce má konstantní složitost a aktualizace vah spodních částí sloupců je má složitost
935 $O\left(\frac{s}{m} \log \frac{m}{\delta}\right)$. Operace swap na řádcích 7 a 9 algoritmu není třeba provádět fyzicky, stačí
936 aby se permutace prováděly například na ukazatelích, a tedy v konstantním čase. Celková
937 složitost m průchodů cyklem je $O\left(s \log \frac{m}{\delta}\right)$.

938 Složitost jednoho průchodu cyklem, který začíná na řádce 11 je $O\left(\frac{s}{m} \log \frac{m}{\delta}\right)$. Celková
939 složitost m průchodů tímto cyklem je tedy opět $O\left(s \log \frac{m}{\delta}\right)$.

940 Složitost algoritmu 4.5 je tedy $O\left(s \log \frac{m}{\delta}\right) = \left(n \log \frac{m}{\delta}\right)$. \square

941 Nyní máme návod na sestrojení matice \mathbf{H} a také efektivní algoritmy vkládání a ex-
942 trakce. Otázkou zůstává, jakým způsobem si strany vymění matici \mathbf{H} . Jednou možností
943 samozřejmě je, aby matice byla předem dohodnutá. Nevýhodou takového postupu je, že
944 jsme vázáni na určité předem určené hodnoty σ a μ . Taková matice nebude použitelná
945 pro nosiče s relativním počtem suchých prvků menším než σ . Naopak pro nosiče s relativ-
946 ním počtem suchých prvků větším než σ nám pevně zvolená matice nedovolí plně využít
947 kapacitu nosiče.

948 Další možností je předem dohodnout určité parametry, jako například velikost bloku n
949 a parametry c a δ , ale délku zprávy m a matici \mathbf{H} zvolit až ve chvíli, kdy máme kon-
950 krétní nosič a zprávu. V takovém případě musíme v nosiči vyhradit nějaký malý prostor,
951 kam uložíme informaci o délce zprávy. Paritní matice se potom sestojí náhodně, přičemž
952 jako inicializační hodnota generátoru náhodných čísel může sloužit právě délka zprávy m .
953 Vzhledem k tomu, že obě strany sdílejí všechny parametry pro sestrojení matice, můžou
954 si ji každá samostatně vygenerovat. Tento postup má jednu velkou výhodu. Stane-li se, že
955 pro některý blok nosiče algoritmus 4.10 selže, můžeme situaci vyřešit tak, že celý proces
956 začneme od začátku s jinou maticí \mathbf{H} . To se dá zařídit tak, že zprávu doplníme nějakým
957 bezvýznamným znakem, čímž změním její délku a tím i inicializační hodnotu generátoru
958 náhodných matic.

959 LITERATURA

960 [1] Berlekamp, E. R.; McEliece, R. J.; van Tilborg, H. C. A.: On the inherent intractability
961 of certain coding problems. *Information Theory, IEEE Transactions on*, ročník 24,

- 962 č. 3, May 1978: s. 384–386, ISSN 0018-9448, doi:10.1109/TIT.1978.1055873.
963 URL <http://dx.doi.org/10.1109/TIT.1978.1055873>
- 964 [2] Cohen, G.; Honkala, I.; Litsyn, S.; aj.: *Covering codes, North-Holland Mathematical*
965 *Library*, ročník 54. Elsevier, 1997, ISBN 9780080530079.
- 966 [3] Crandall, R.: Some notes on steganography, December 1998, posted on steganography
967 mailing list.
968 URL <http://os.inf.tu-dresden.de/westfeld/crandall.pdf>
- 969 [4] Fridrich, J.: *Steganography in digital media: Principles, algorithms, and applications*.
970 Cambridge University Press, 2010.
- 971 [5] Fridrich, J.; Goljan, M.; Soukal, D.: Perturbed quantization steganography. *Mul-*
972 *timedia Systems*, ročník 11, č. 2, 2005: s. 98–107, ISSN 0942-4962, doi:10.1007/
973 s00530-005-0194-3.
974 URL <http://dx.doi.org/10.1007/s00530-005-0194-3>
- 975 [6] Fridrich, J.; Lisoněk, P.; Soukal, D.: On Steganographic Embedding Efficiency. In
976 *Information Hiding, Lecture Notes in Computer Science*, ročník 4437, editace J. L.
977 Camenisch; C. S. Collberg; N. F. Johnson; P. Sallee, Springer Berlin Heidelberg, 2007,
978 ISBN 978-3-540-74123-7, s. 282–296, doi:10.1007/978-3-540-74124-4_19.
979 URL http://dx.doi.org/10.1007/978-3-540-74124-4_19
- 980 [7] Kim, Y.; Duric, Z.; Richards, D.: Modified Matrix Encoding Technique for Mini-
981 mal Distortion Steganography. In *Information Hiding, Lecture Notes in Computer*
982 *Science*, ročník 4437, editace J. Camenisch; C. Collberg; N. Johnson; P. Sallee,
983 Springer Berlin Heidelberg, 2007, ISBN 978-3-540-74123-7, s. 314–327, doi:10.1007/
984 978-3-540-74124-4_21.
985 URL http://dx.doi.org/10.1007/978-3-540-74124-4_21
- 986 [8] Li, X.; Zeng, T.; Yang, B.: Improvement of the embedding efficiency of LSB matching
987 by sum and difference covering set. In *Multimedia and Expo, 2008 IEEE International*
988 *Conference on*, June 2008, s. 209–212, doi:10.1109/ICME.2008.4607408.
989 URL <http://dx.doi.org/10.1109/ICME.2008.4607408>
- 990 [9] Luby, M.: LT codes. In *Foundations of Computer Science, 2002. Proceedings. The*
991 *43rd Annual IEEE Symposium on*, 2002, ISSN 0272-5428, s. 271–280, doi:10.1109/
992 SFCS.2002.1181950.
993 URL <http://dx.doi.org/10.1109/SFCS.2002.1181950>
- 994 [10] Zhang, W.; Zhang, X.; Wang, S.: A Double Layered “Plus-Minus One” Data Embed-
995 ding Scheme. *Signal Processing Letters, IEEE*, ročník 14, č. 11, Nov 2007: s. 848–851,
996 ISSN 1070-9908, doi:10.1109/LSP.2007.903255.
997 URL <http://dx.doi.org/10.1109/LSP.2007.903255>
- 998 [11] Zhang, W.; Zhang, X.; Wang, S.: Maximizing Steganographic Embedding Effici-
999 ency by Combining Hamming Codes and Wet Paper Codes. In *Information Hiding,*
1000 *Lecture Notes in Computer Science*, ročník 5284, editace K. Solanki; K. Sullivan;
1001 U. Madhow, Springer Berlin Heidelberg, 2008, ISBN 978-3-540-88960-1, s. 60–71, doi:
1002 10.1007/978-3-540-88961-8_5.
1003 URL http://dx.doi.org/10.1007/978-3-540-88961-8_5